

Oberflaechenphysik

- The surfaces of bodies are the field of very powerful forces of whose action we know but little. *Lord Rayleigh*
- The surface was invented by the devil. *Wolfgang Pauli*

Zitiert in: A. Zangwill, *Physics at Surfaces*, pX: Preface Cambridge University Press, ISBN 0 521 34752 1



Literatur ‘Surface and Interface Science’

- Ashcroft / Mermin Solid State Physics
- Henzler / Goepel Surface Physics (in German) (Teubner, vergriffen)
- John Venables Introduction to surface and thin film processes (2000) Cambridge University Press
- Jacob Israelachvilli Intermolecular and Surface Forces (Academic Press) (2nd or newer edition)
- H. Luethe, Surfaces and Interfaces of Solids (Springer Series in Surface Sciences -- Vol15.)
- Stoehr J. and Siegmann H.C. 2006 Magnetism, (Berlin: Springer) S. Huefner, Springer 1995, Photoelectron Spectroscopy (Springer Series in Solid State Sciences Vol. 82).
- Gabor A. Somorjai, Surface Chemistry and Catalysis by Wiley, New York, 1994. ISBN 0-471-03192-5
- T. A. Delchar, and D. P. Woodruff Modern Techniques of Surface Science (Cambridge Solid State Science Series)
- Andrew Zangwill, Physics at Surfaces, Cambridge University Press, Cambridge 1988. ISBN 0-521-34752-1

Eine gute Uebersicht ueber die historische Literatur befindet sich im Vorwort von Physics at Surfaces von A. Zangwill



NANOSCALE PROCESSES ON INSULATING SURFACES

by Enrico Gnecco (University of Basel, Switzerland) &
Marek Szymonski (Jagiellonian University, Poland)

Ionic crystals are among the simplest structures in nature. They can be easily cleaved in air and in vacuum, and the resulting surfaces are atomically flat on areas hundreds of nanometers wide. With the development of scanning probe microscopy, these surfaces have become an ideal “playground” to investigate several phenomena occurring on the nanometer scale. This book focuses on the fundamental studies of atomically resolved imaging, nanopatterning, metal deposition, molecular self-assembling and nano-tribological processes occurring on ionic crystal surfaces. Here, a significant variety of structures are created by nanolithography, annealing and irradiation by electrons, ions or photons, and are used to confine metal particles and organic molecules or to improve our basic understanding of friction and wear on the atomic scale. Metal oxides with wide band gap are also discussed. Altogether, the results obtained so far will have an undoubtedly impact on the future development of nanoelectronics and nanomechanics.

World Scientific July 2009, ISBN: 978-981-283-762-2



NANOSCALE PROCESSES ON INSULATING SURFACES

by Enrico Gnecco (University of Basel, Switzerland) &
Marek Szymonski (Jagiellonian University, Poland)

Contents:

- Crystal Structures of Insulating Surfaces
- Preparation Techniques of Insulating Surfaces
- Scanning Probe Microscopy in Ultra High Vacuum
- Scanning Probe Microscopy on Bulk Insulating Surfaces
- Scanning Probe Micrscopy on thin Insulating Films
- Interaction of Ions, Electrons and Photons with Halide Surfaces
- Surface Patterning with Electrons and Photons
- Surface Patterning with Ions
- Metal Deposition on Insulating Surfaces
- Organic Molecules on Insulating Surfaces
- Scanning Probe Spectroscopy on Insulating Surfaces
- Nanotribology on Insulating Surfaces
- Nanomanipulation on Insulating Surfaces



Links

- On line Lectures / Tutorials:
<http://www.uksaf.org/tutorials.html>
- List of Books useful to surface science users:
http://www.xpsdata.com/useful_books.htm
- Vorlesung im SS 2007
<http://nanolino.unibas.ch/pages/teaching.htm>



19576-01+Vorlesung mit Übungen: Oberflächenphysik 4 KP

Di, 10.00-12.00 wöchentlich verlegbar

-
- Di, 15.9.09 Fixing Dates, Intro to Vacuum Technology, Labvisits
Basel (Roland Steiner and Meike Stoehr) CONFIRMED
 - Di, 22.9.09** Introduction, Concepts, Samples and Structure
(Thomas)
 - Di, 29.9.09 Diffraction Methods, in particular LEED (Bert Mueller)
 - Di, 6.10.09 Adsorption / Desorption
 - Di, 13.10.09 Local Probes and Experiments I, STM / STS
(S. Schintke)
 - Di, 20.10.09 Surface Magnetism and X-ray Absorption / PEEM
(F. Nolting)
 - Di, 27.10.09 Diffusion and Growth (Enrico Gnecco)
 - Di, 3.11.09 Surface Vibrations and Surface (Meike Stoehr)
 - Di, 10.11.09 Electronic Properties and Surface Electron
Spectroscopies
 - Di, 17.11.09 Local Probes and Experiments II, AFM FIM (E. Meyer)
 - Di, 24.11.09 Optics, Kelvin Probe ??? Thilo Glatzel
 - Di, 1.12.09 Applications of Surface Science in Industry
(M. de Wild)
 - Di, 8.12.09 Schlusspruefung
(Thilo, Enrico, Meike, Thomas and Assistants)
 - Di, 15.12.09 Exkursion to PSI-SLS (Frithjof, ... and Thomas)



Wissen-schaft

- Kommt von ‘Wissen schaffen’, nicht von ‘Wissen’
- Ist nicht das Lehrgebäude, sondern die Kunst mit Menschen, Papier, Bleistift, Rechenmaschinen, Messtechnik und dem gesamten z.Zt. verfügbaren Wissen zu arbeiten
- Lebt von der Diskussion, dem Diskurs der Kontroverse – es gibt Regeln
- Wird von Menschen ausgeführt mit allen Vor- und Nachteilen
- Urheberrechte sind –im Prinzip- geschützt, aber selten praktikabel einzufordern



Vorlesung und Seminar (statt Uebungen)

Nanowissenschaften / Physik

- Vortraege zu ausgewahlten neuen oder zentralen Themen
- Auswahl Thema: Eigener Vorschlag (evtl. Aus Blockkurs etc.) oder Themenvorschlag der Assistenten
- Bewertet wird Recherche, Literatur, Vortrag
- Eigenstaendige Literaturrecherche (unter Anleitung)
- Abgabe Powerpoint Slides
- Systematische Integration des / der Assistenten / Dozenten
- Vorlesungsblock: En groupe, alle zwei Wochen zwei Stunden
- Uebungsblock: Individueller Kontakt mit den / dem Assistentn
- Probevortrag im Uebungsblock moeglich
- Vortrag: Deutsche oder Englische Sprache

Gesamtes Vorlesungsprogramm wird auf FS10 mit hoffentlich mehr Teilnehmern verschoben, WERBUNG IST SEHR WILLKOMMEN.



19576-01+Vorlesung mit Übungen: Oberflächenphysik 4 KP

Di, 10.00-12.00 wöchentlich verlegbar

Di, 15.9.09 Fixing Dates, Intro to Vacuum Technology, Labvisits
Basel (Roland Steiner and Meike Stoehr) CONFIRMED

Di, 22.9.09 Introduction, Concepts, Samples and Structure
(Thomas)

Di, 29.9.09 Vorstellung / Auswahl der Themen (Teilnehmer,
Assistenten)

Di, 6.10.09 Fragen der Teilnehmer / Diskussion

Di, 13.10.09 Diskussion / Vorlesung Wahlthema

Di, 20.10.09 Vortrag 1. Thema

Di, 27.10.09 Diffusion and Growth (Enrico Gnecco)

Di, 3.11.09 Diskussion / Vorlesung Wahlthema

Di, 10.11.09 Diskussion / Vorlesung Wahlthema

Di, 17.11.09 Vortrag 3. Thema

Di, 24.11.09 Diskussion / Wahlthema

Di, 1.12.09 Vortrag 4. Thema

Di, 8.12.09 Vortrag 5. Thema

Di, 15.12.09 Exkursion to PSI-SLS (Frithjof, ... and Thomas)



Oberflächenphysik: Das “weiss” Wikipedia

- Die **Oberflächenphysik** ist ein Teilgebiet der [Festkörperphysik](#) und beschäftigt sich mit der [Geometrie](#), der elektronischen [Struktur](#) und der [Adsorption](#) von [Stoffen](#) an [Oberflächen](#) von [Festkörpern](#).
- **Inhaltsverzeichnis**
 - [1 Geometrie und Oberfläche](#)
 - [2 Adsorption](#)
 - [3 Verfahren der Oberflächenphysik](#)
 - [4 Siehe auch](#)
 - [5 Literatur](#)
 - [6 Weblinks](#)
- **Geometrie und Oberfläche**
 - Unter der [Oberfläche](#) eines [kristallinen](#) Festkörpers versteht man den Bereich der [Grenzfläche](#), in dem sich die geometrische und elektronische Struktur wesentlich von der des [Volumenfestkörpers](#) unterscheidet, das sind im Wesentlichen einige wenige [Atomlagen](#) von der Oberfläche aus gezählt.
 - Die [Geometrie](#) der Oberfläche wird mit zweidimensionaler [Kristallographie](#) beschrieben. Statt der 14 [Bravais-Gitter](#) im Dreidimensionalen gibt es in zwei [Dimensionen](#) nur fünf Bravais-Gitter, das [Parallelogramm](#)-, [Quadrat](#)-, [Rechteck](#)-, [hexagonale](#) und das rechteckig-flächenzentrierte [Gitter](#).
- **Adsorption**
 - [Adsorption](#) eines Stoffes an einer Oberfläche bedeutet, dass sich [Atome](#) oder [Moleküle](#) aus der [Gasphase](#) auf der Oberfläche anlagern und dort durch [Van-der-Waals-Kräfte](#) ([Physisorption](#)) oder [chemische Bindungen](#) ([Chemisorption](#)) gebunden werden. Daher sind alle Festkörper an Luft von mindestens einer ganzen Lage Moleküle oder Atome bedeckt. Um dies zu vermeiden, werden die meisten Experimente unter starkem [Vakuum](#), meistens Ultrahochvakuum, durchgeführt.
 - [Physisorbate](#) sind meist sehr schwach gebunden, daher muss der Festkörper zur Untersuchung von Physisorbaten zumindest mit flüssigem [Stickstoff](#), oft sogar mit flüssigem [Helium](#) gekühlt werden. Sie können durch Heizen auf relativ tiefe [Temperaturen](#) [desorbiert](#), d. h., von der Oberfläche abgedampft, werden.
 - [Chemisorbate](#) sind meist stärker gebunden und manche können bei Raumtemperatur untersucht werden, für schwächer gebundene Chemisorbate ist eine Kühlung mit flüssigem [Stickstoff](#) ausreichend.



Verfahren der Oberflächenphysik

[Auger-Elektronen-Spektroskopie \(AES\)](#)
[Beugung niederenergetischer Elektronen \(LEED\)](#)
[Beugung hochenergetischer Elektronen \(RHEED\)](#)
[Elektronen-Energieverlust-Spektroskopie \(EELS\)](#)
[Elektronenstrahlmikroanalyse \(EPMA\)](#)
[Feldelektronenmikroskop \(FEM\)](#)
[Feldionenmikroskop \(FIM\)](#)
[Heliumatomstrahlstreuung \(HAS\)](#)
[Infrarot-Absorptionsspektroskopie \(IRAS\)](#)
[Metastabilen-Einschlag-Elektronenspektroskopie \(MIES\)](#)
[Niederenergetisches Elektronenmikroskop \(LEEM\)](#)
[Optische Rasternahfeldmikroskopie \(SNOM\)](#)
[Photoakustische Spektroskopie \(PAS\)](#)
[Photoelektronenbeugung \(PED\)](#)
[Photoelektronenemissionsmikroskop \(PEEM\)](#)
[Photoelektronenspektroskopie \(PES\)](#)
[Photoemission von adsorbiertem Xenon \(PAX\)](#)
[Rasterelektronenmikroskop \(REM\)](#)
[Raster-Transmissionselektronenmikroskopie \(STEM\)](#)
[Rastertunnelmikroskopie \(STM\)](#)
[Rasterkraftmikroskopie \(AFM\)](#)
[Röntgen-Photoelektronenspektroskopie \(XPS\)](#)
Röntgenabsorptionsspektroskopie: [Röntgen-Nahkanten-Absorptions-Spektroskopie \(NEXAFS\)](#) und [SEXAFS](#)
[Sekundärionen-Massenspektrometrie \(SIMS\)](#)
[Sekundär-Neutralteilchen-Massenspektrometrie \(SNMS\)](#)
[Streuung niederenergetischer Ionen \(LEIS\)](#)
[Temperatur-programmierte Desorption \(TPD\)](#), auch Thermische Desorptionsspektroskopie (TDS) genannt
[Ultraviolett-Photoelektronenspektroskopie \(UPS\)](#)
[Oberflächensensitive Röntgenbeugung \(SXRD\)](#)



Das weiss Wikipedia “so schnell” nicht

Oberflaechenwissenschaften

- Oberflaechenchemie (Katalyse, Korrosion, Brennstoffzellen)
- Oberflaechenphysik (Diffusion, viele Experimentelle und Theoretische Methoden)
- Nanowissenschaften (Nanostrukturen)
- Grenzflaechenwissenschaften (Kolloide, Membranen, ...)
- Elektrochemie (Batterien, Korrosion,
- Oberflaechentechnik (Biokompatible Materialien, Klebetechnik, Lithographie, Sensoren, Haftung, Reibung,)
- Halbleiterschaltungstechnik, ‘Mikro’-- Technik
- ...

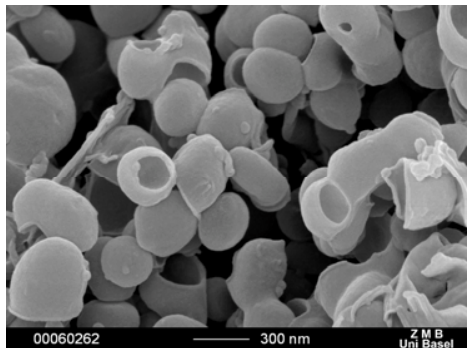
N.B. Oberflaechenwissenschaften → kein Wikipedia Eintrag (!)

Surface Science → ein Umfangreicher Wikipedia Eintrag; Suchen Sie selbst

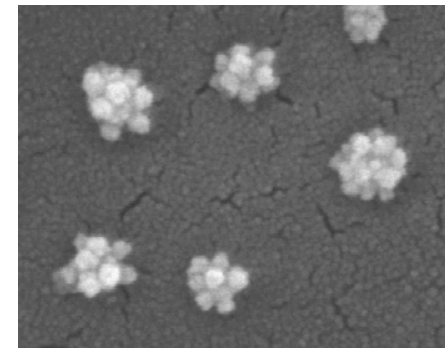
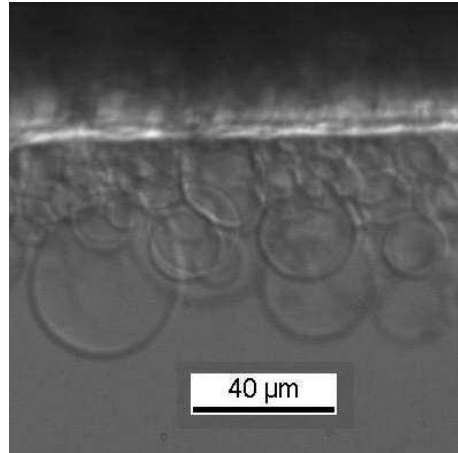
Noch besser: **‘Surface and Interface Science’**



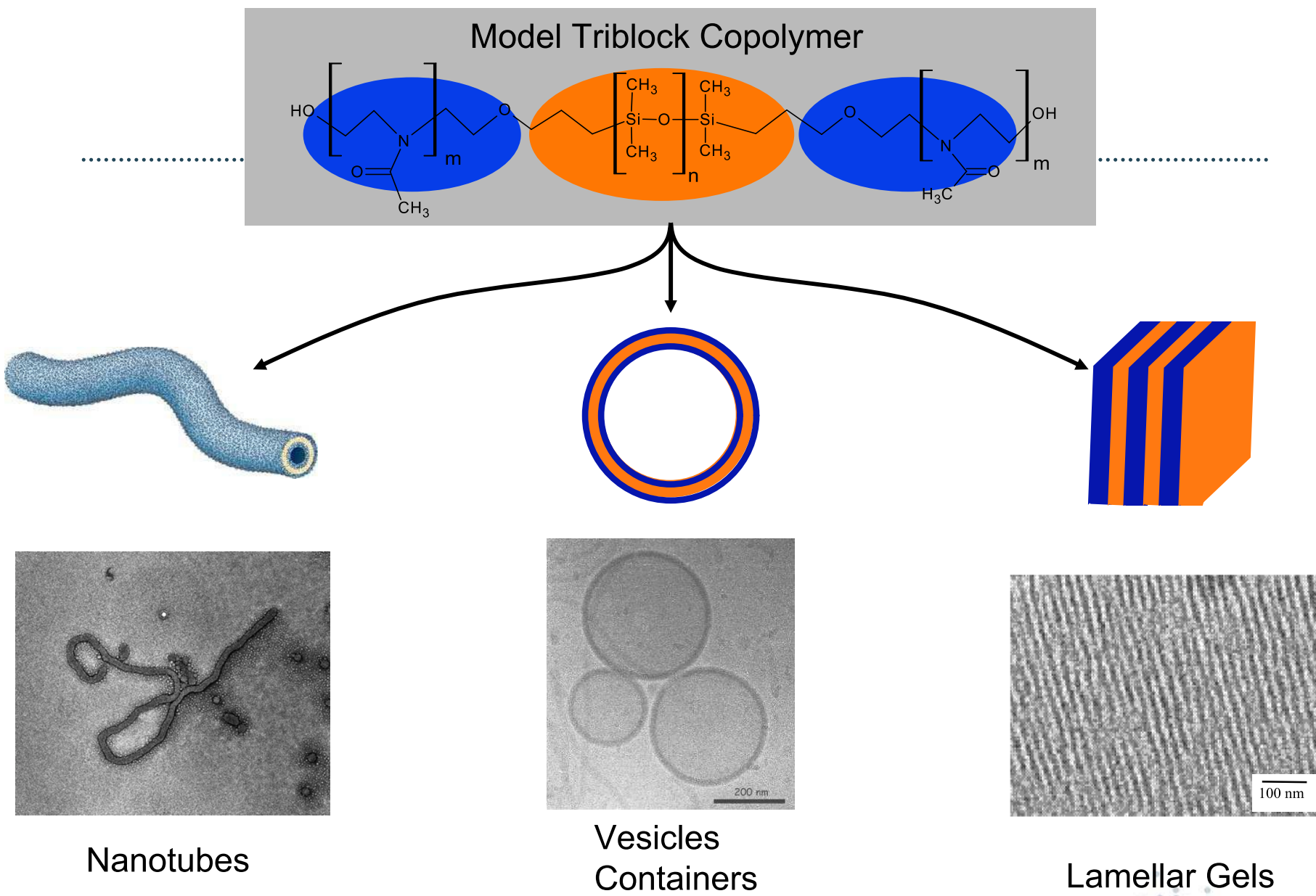
Polymer Vesicles and Membranes with Highly Selective Permeability



Wolfgang Meier
Department of Chemistry
University of Basel



Zur Anzeige wird der QuickTime™ Dekompressor „TIFF (Unkomprimiert)“ benötigt.

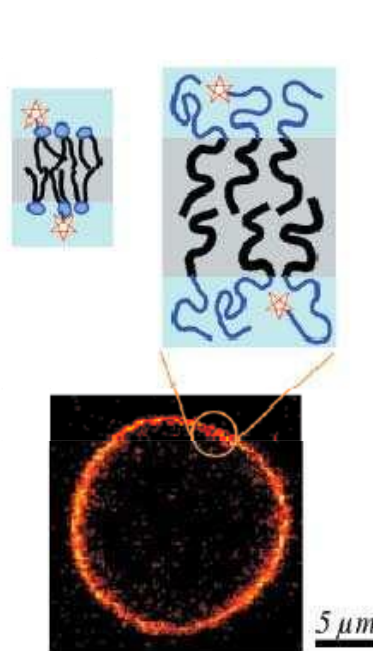


Grumelard et al.,
Chem. Commun. **2004**, 1462

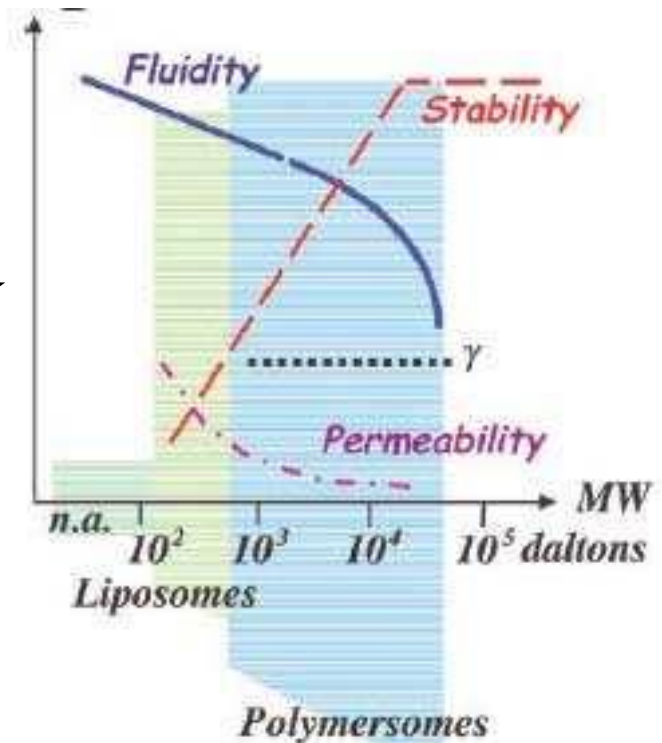
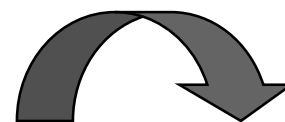
Kita-Tokarczyk et al,
Polymer **2005**, *46*, 3540

Nardin et al,
Angew. Chem. **2000**, *112*, 4247

Thickness vs. Properties of Polymer Membranes



$$2L \propto N^{2/3}$$

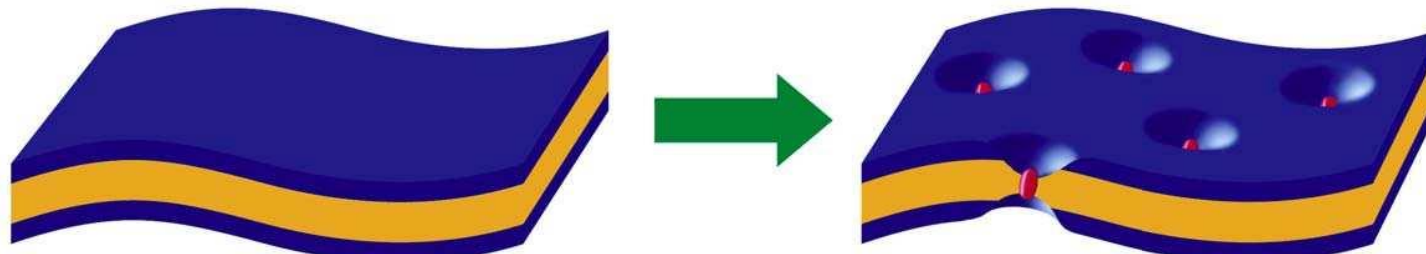


Discher D.E. & Eisenberg A.
Science, 2002, 297, 967

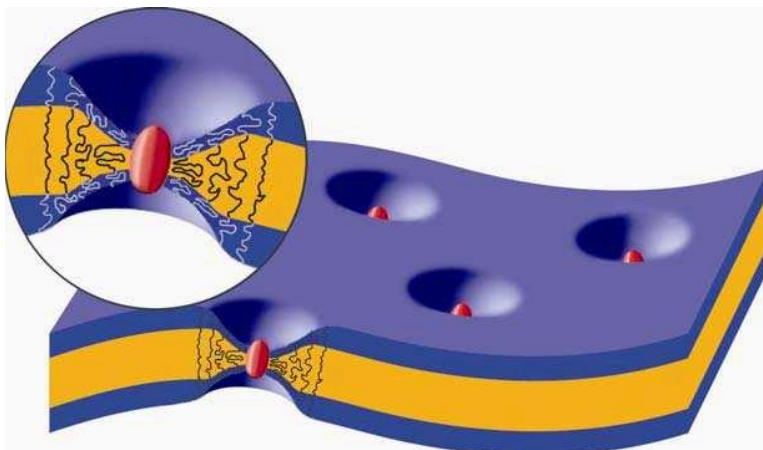
Lee J.C.M. et al., Macromolecules 2002, 35, 323

Block Copolymer Membranes as Mimics of Biological Membranes

Block Copolymer Membranes with Inserted Membrane Proteins



Nardin et al. *Angew. Chem.*, 2000, 117, 4247



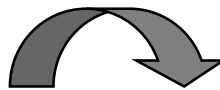
- Polymer chains can be compressed
(increase in the local surface energy but decrease in the stretching energy!)
- Polydispersity allows small chains to segregate around a membrane protein

Pata et al. *Biophysical Journal*, 2003, 85 (3), 2111

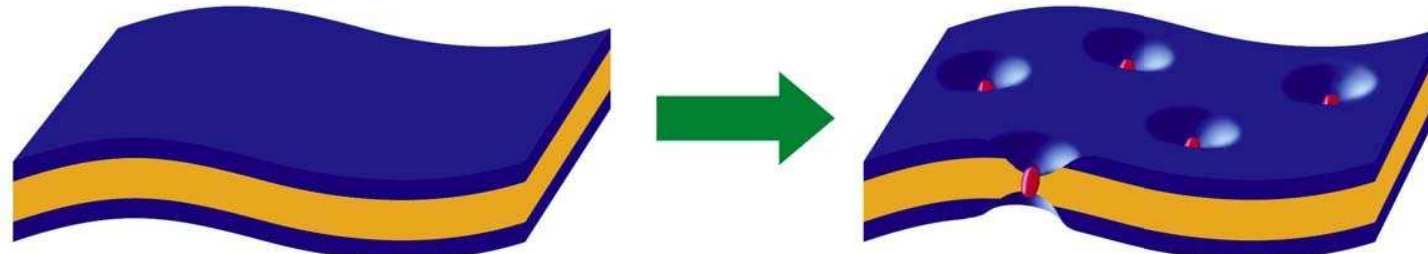
Block Copolymer Membranes as Mimics of Biological Membranes

Zur Anzeige wird der QuickTime™
Dekompressor „TIFF (Unkomprimiert)“
benötigt.

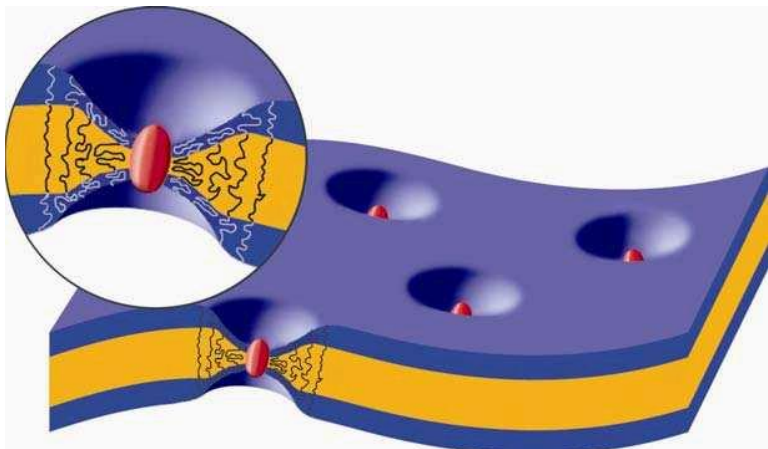
M.S. Bretscher, *Scientific American*, 1985, 253(4), 86-90



Block Copolymer Membranes with Inserted Membrane Proteins



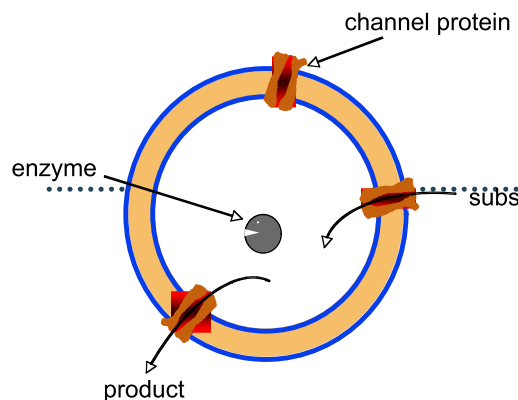
Nardin et al. *Angew. Chem.*, 2000, 117, 4247



- Polymer chains can be compressed
(increase in the local surface energy but decrease in the stretching energy!)
- Polydispersity allows small chains to segregate around a membrane protein

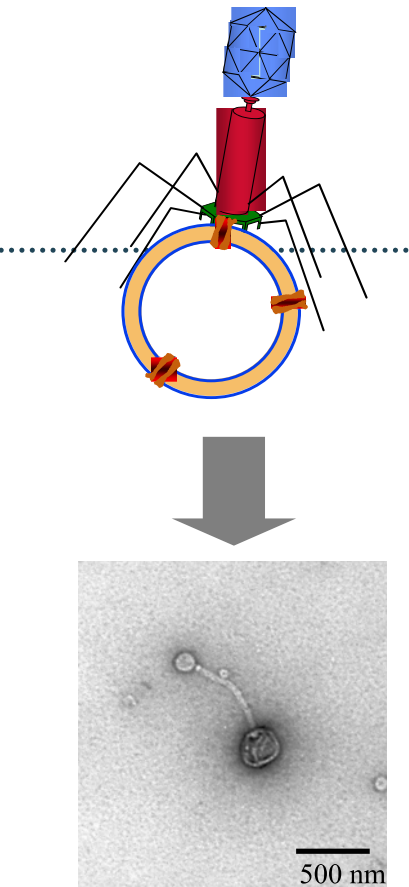
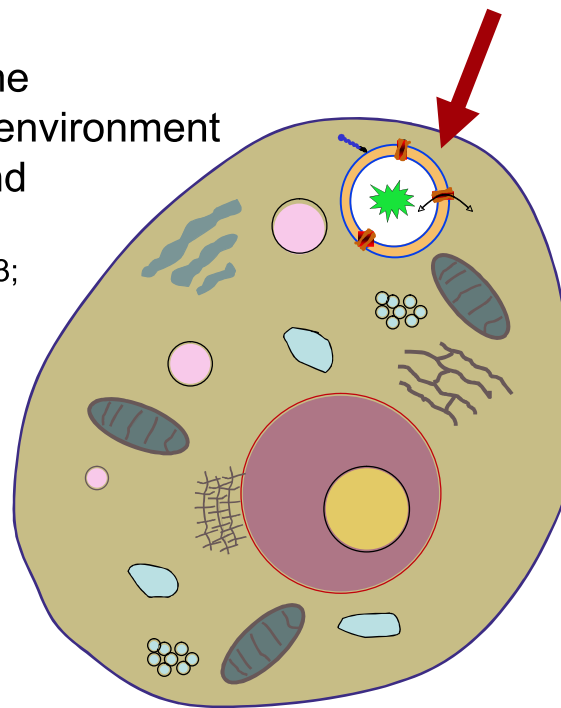
Pata et al. *Biophysical Journal*, 2003, 85 (3), 2111

The Nanoreactor



- full activity of encapsulated enzyme
- protection against hostile outside environment
- activation / deactivation on demand

Nardin et al, *Chem. Commun* **2000**, 1433;
Eur. Phys. J. E **2001**, 4, 403; ...



Biological recognition!

A. Graff, et al., *Proc. Natl. Acad. Sci. USA* ,**2002**, 99, 5064

Cell-specific integration of artificial organelles

N. Ben-Haim et al, *Nano Lett.* **2008**, 8, 1368



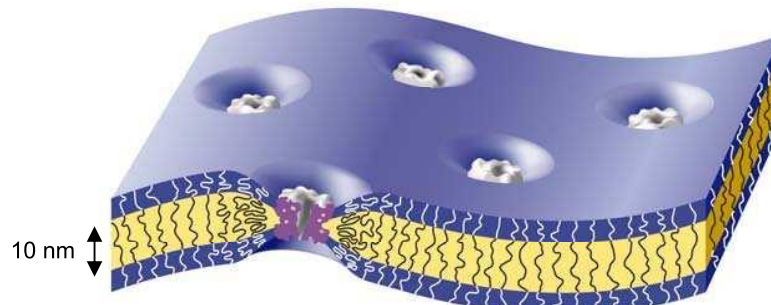
Polymer Membranes with Controlled Water Permeability

M. Kumar et al., *Proc. Natl. Acad. Sci. USA*, **2007**, 104, 20723,

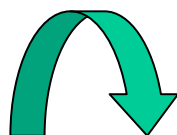


Insertion of Aquaporins

- Regulation of cell volume / internal osmotic pressure
- Reabsorption of water from the primary urine
- Water absorption in the root of plants etc.



B.L. de Groot, H. Grubmüller:
Science **2001**, 294, 2353



high water permeation rate;
 $\sim 10^9 \text{ H}_2\text{O} / \text{channel sec}$

high selectivity
narrow pore inhibits transport for
molecules, ions (salts), H_3O^+ and OH^-

Tajkhorshid, E., Nollert, P., Jensen, M.O., Miercke,
L.J., O'Connell, J., Stroud, R.M., and Schulten, K.,
Science **296**, 525-530 (2002)

Model System: Aquaporin Z from *E. Coli* 10 additional His residues at the N terminus



Reconstitution of Aquaporin Z in PMOXA₁₅PDMS₁₁₀PMOXA₁₅ Vesicles

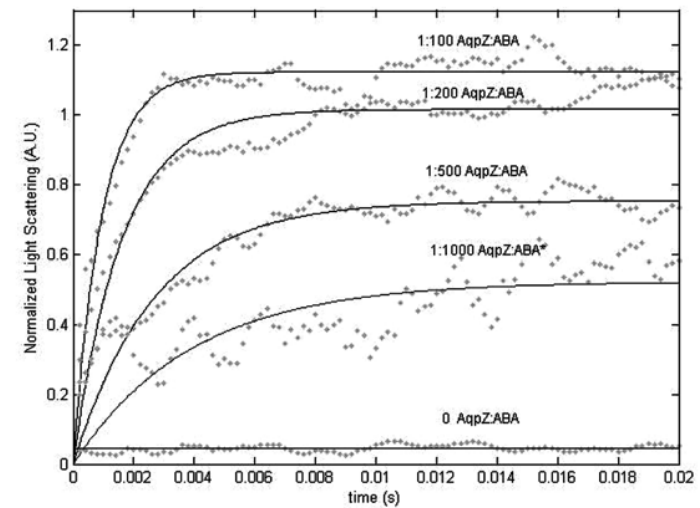
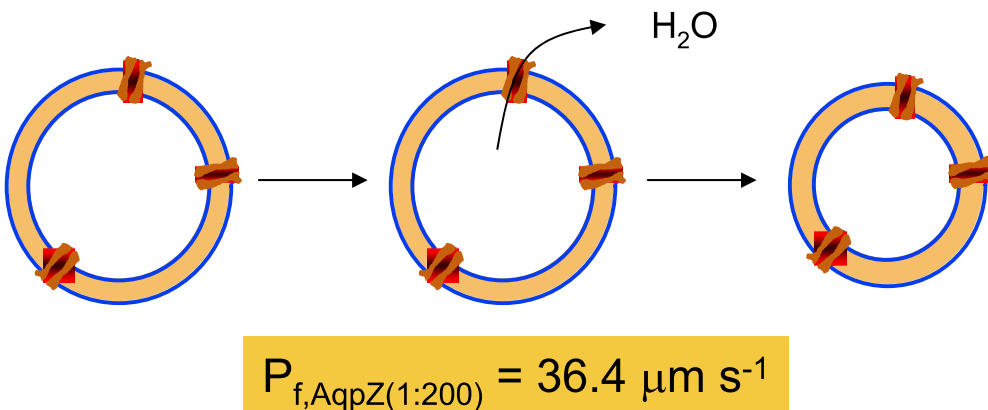
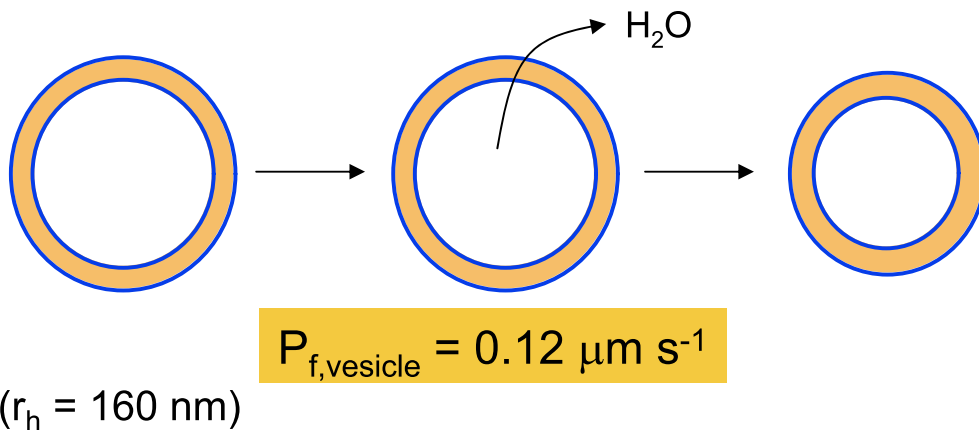
Membrane permeability can be determined from the increase in scattered light intensity ($\frac{\Delta I}{I_0} \propto -\frac{\Delta R}{R_0}$) as a response to a step change in external osmolarity

$$P_f = \frac{k}{(S/V_0)} V_W \Delta_{osm}$$

Milon et al. *Biochim. Biophys. Acta* **1986**, 859, 1
Borgnia et al. *J. Mol. Biol.* **1999**, 291, 1169

100 mOsm sucrose
inside and outside

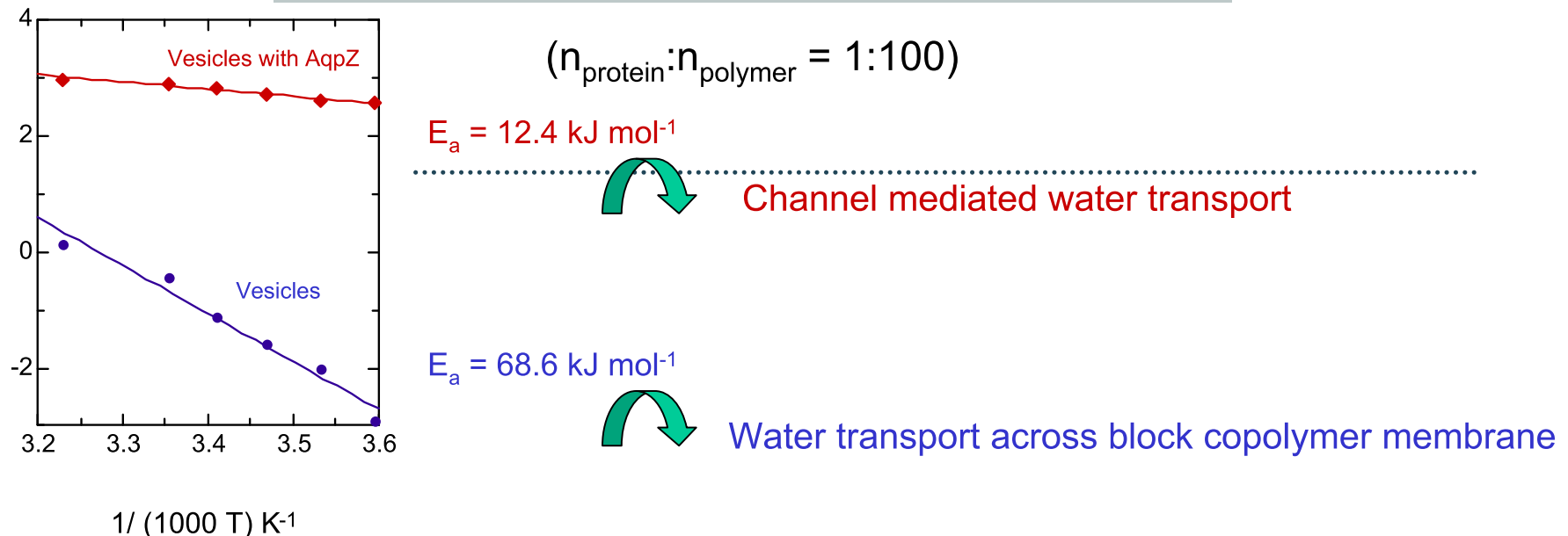
100 mOsm sucrose inside
120 mOsm sucrose outside



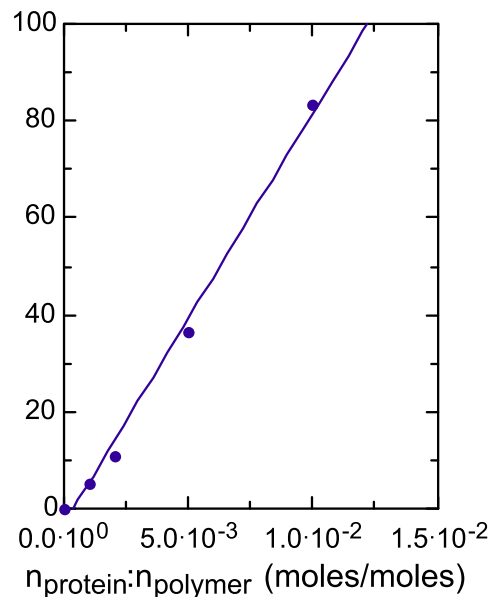
Water permeability can be considerably enhanced in the presence of AqpZ!



Temperature Dependence of Water Transport



Concentration Dependence of Water Transport



Osmotic water permeability for each AqpZ subunit: $4.7 \cdot 10^{-13} \text{ cm}^3/\text{s}$

Here: ≤ 50 AqpZ per vesicle ($r_h = 160 \text{ nm}!$)

Higher packing density??
Planar membranes for applications??



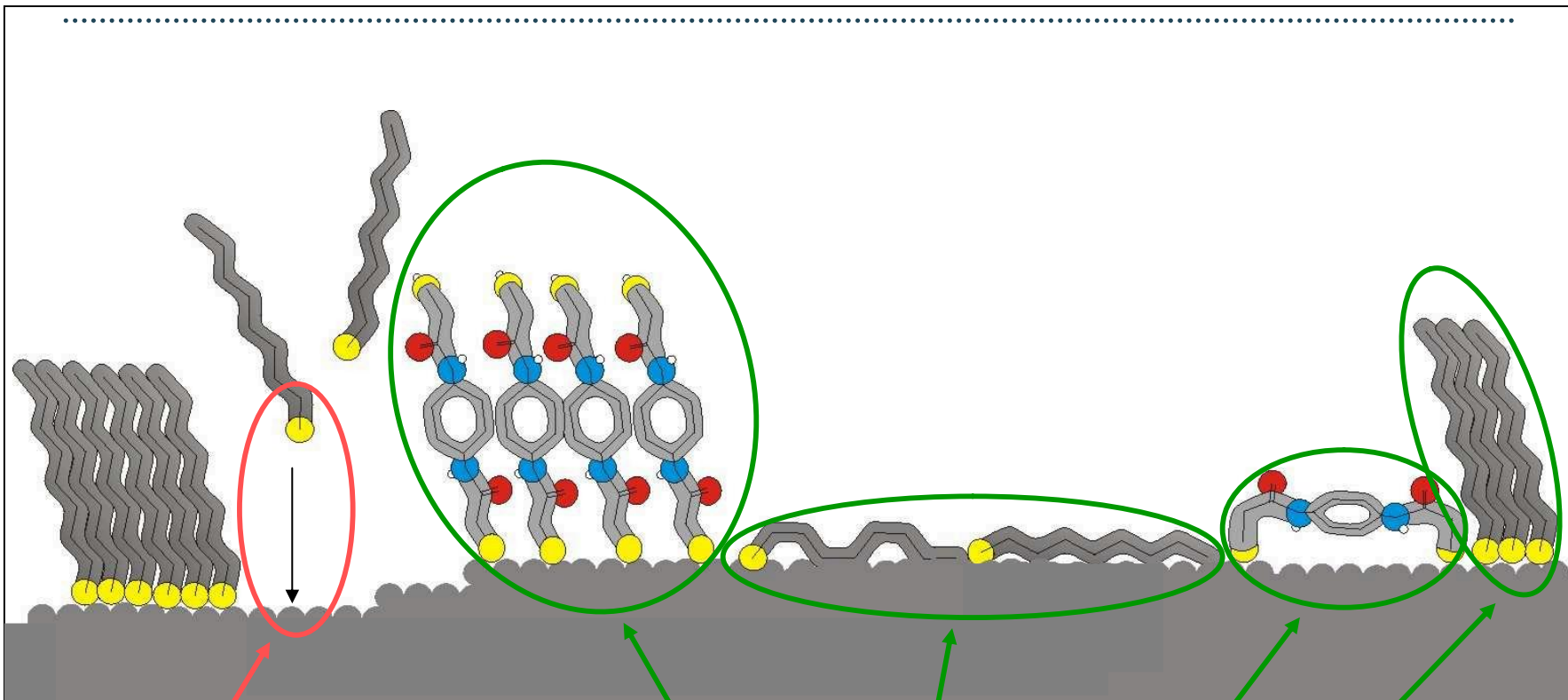
Oberflaechenphysik: Historische Aspekte I

Quelle: A. Zangwill 'Historical Sketch'

- Katalyse H₂@Pt, Faraday 1833 & Berzelius 1836
- Cu/FeS (Metall-Halbleiter) Interface Gleichrichter K.F. Braun 1874
- 3D und Oberflaechenphasen J.W. Gibbs 1877
- Austrittsarbeit, Adsorption, Thermo-ionische Desorption, mono-molekulare (LB !) Filme I. Langmuir NP 1932



Bonding, Orientation and Mixing on the Surface



Chemical Reaction

Different Phases of different Compounds

Oberflächenphysik: Historische Aspekte II

- Photoelektrischer Effekt A. Einstein NP 1921
- Elektronenstreuung C. Davisson L. Germer NP 1937
(Routineanwendungen erst nach 30! Jahren)
- Oberflächentheorie: Elektronenzustaende an
Oberflächen
Tamm (1932), Maue (1935), Goodwin (1939), ...
Shockley (1939).
- Physisorption Lennard-Jones (1932)



Oberflaechenphysik: Historische Aspekte III

- Resonanzmodell der Elektronenzustaende eines Adsorbates Gurney (1935)
- Theorie der Metallocerflaeche Bardeen (1935)
- Diodenverhalten von Halbleitergrenz-schichten, Mott (1938), Schottky (1939), Davydov (1939)
- Pause bis nach dem ‘Manhattan Project’



Oberflaechenphysik: Historische Aspekte IV

- Theorie des Kristallwachstums Burton&Cabrera (1949),
Metalloberflaechen Smith (1948)
- ‘A device called a transistor which has several
applications in radio where a vacuum tube ordinarily is
employed’ New York Times 1949
Punkt-kontakt-transistor ($\sim 1\text{cm}^3$) Bardeen & Brattain
(1949)



Oberflaechenphysik: Historische Aspekte V

- Monograph ‘Semiconductor Surfaces’ Unterscheidung ‘realer’ und ‘sauberer’ Oberflaechen Many, Goldstein, Grover (1965) N.B. noch keine Oberflaechen-analytik, noch keine atomar sauberen Oberflaechen.

GLEICHZEITIG ~1975

- Elektronenspektroskopie, und Auger Spektroskopie: Anwendungen zur Oberflaechenanalytik
- Vakuumtechnik → kontrollierte Experimente
- Computertechnik → Oberflaechentheorie
- Und dann ging’s erst richtig los



Technologie und Innovation

- Ist ein wesentlicher Vorteil fuer eine Gesellschaft
- Ist von kommerziellem Interesse / vertraulich
- Kommt aus der 'offenen' Wissenschaft heraus, nur selten durch die Wissenschaftler selber
- Wird durch Patente und Marken geschuetzt
- Vakuumtechnik, Oberflaechenanalytik und Oberflaechenchemie / Physik haben eine gemeinsame Entwicklung erfahren seit ~40 Jahren



Praeparation von ‘atomar sauberen’ Oberflaechen ‘A’

- ‘saubere’ Chemie: 99.999 % und was dann?
- Wenige % im Volumen belegen die Oberflaeche ‘im Nu’
- Kontinuierliche Diffusionsverluste von Fremdatomen an die Oberflaeche (evtl. Desorption)
- Rasche Belegung der Oberflaeche mit ‘intrinsischem’ Dreck
- Loschmidt’ und Avogadro lassen gruessen



Praeparation von 'atomar sauberen' Oberflaechen 'B'

- Oberflaechenbelegungsdichte nach Exposition eines Gases:
1 Langmuir \sim 10⁻⁶ mbar sec
- Fuer Experimentierdauern von einem Tag (typisch!) braucht es $<\sim$ 10⁻¹⁰ mbar
- UHV !

N.B. nur wenige Oberflaechen, HOPG, Glimmer, ITO sind so inert, dass sie nach Luftexposition ohne Praeparation im Vakuum verwendet werden koennen.



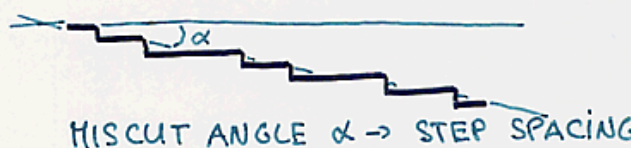
Praeparation von 'atomar sauberen' Oberflaechen 'C'

- Spaltung: Alkalihalogenide (NaCl, KBr,...)
Erdalkalihalogenide (CaF₂,...)
Oxide (MgO)
Perovskite (YBCO etc) (O₂!)
Halbleiter (Si, GaAs,...)
- kaum zu spalten: Ag-Halogenide,
viele Metalle
- duktile Verformung,
gezielte Spaltung / gezielter (Fehl)schliff
→ 'vicinale Oberflaechen'
Kontrolle des Stufenabstandes

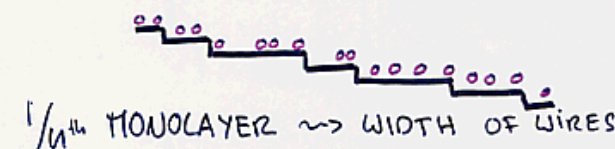


"NANOWIRES" assly in parallel by
Step Decoration & Controlling Growth.

Sample
preparation.



Adsorbate
deposition



Annealing $T < T_s$
DIFFUSION \longleftrightarrow

Annealing $T > T_s$
DIFFUSION \longleftrightarrow

CONTROLLING GROWTH KINETICS:

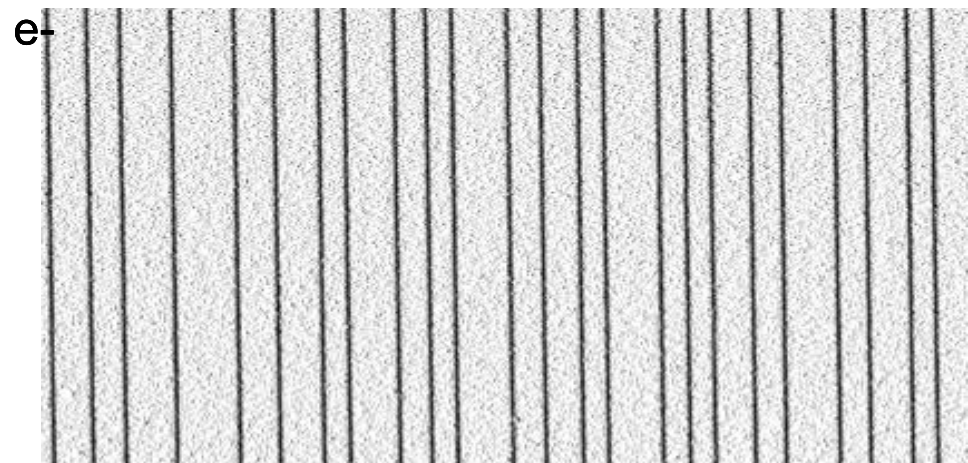
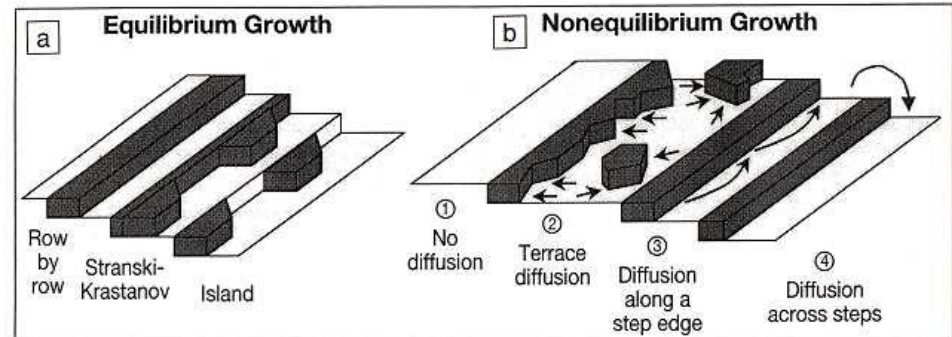
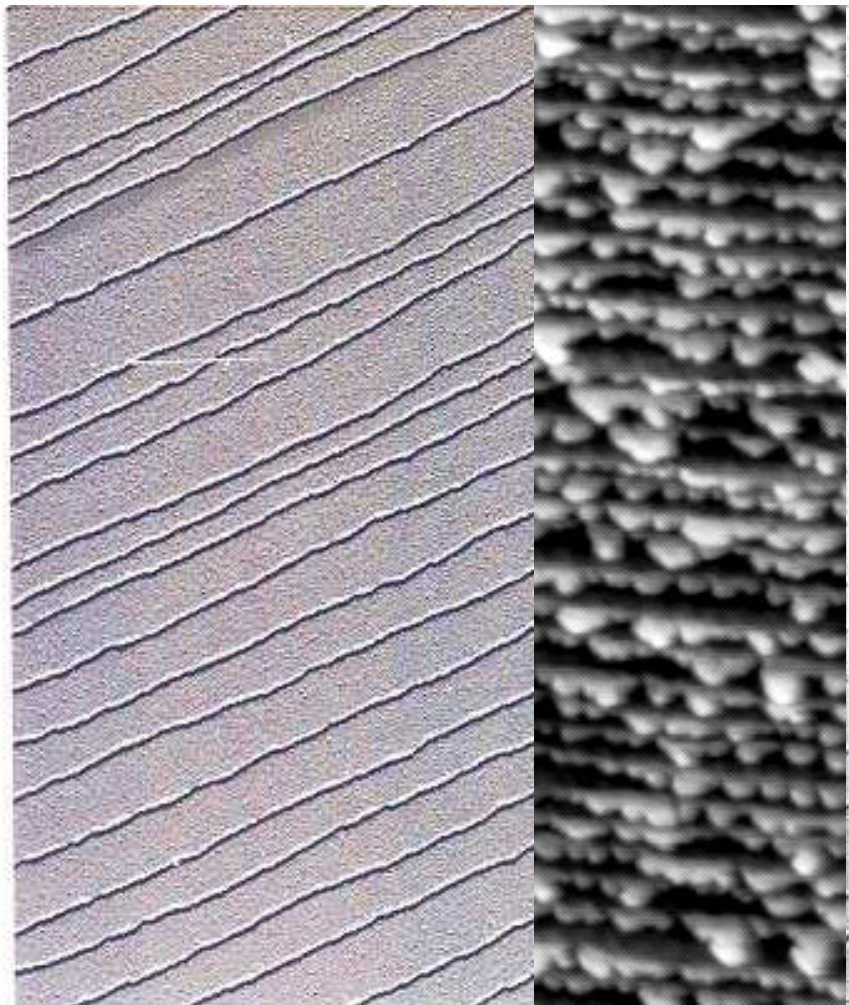
Diffusion Anisotropy

\leadsto Preferential Growth in certain Directions

\leadsto Special Shapes of Grown Islands



‘Physical’ Self Assembly of e.g. Nanowires

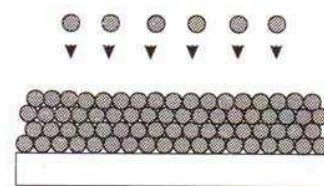


F. Himpel, Th. Jung et al.
MRS Bulletin **24**, 20--24 (1999).

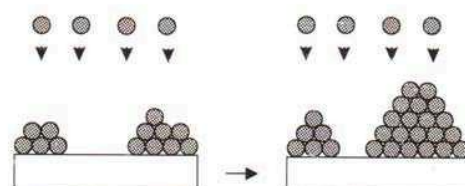
‘Physical’ Self Assembly of e.g. Nanowires jumping from 3D to 2D

Basic Growth Modes of Epitaxial Thin Films

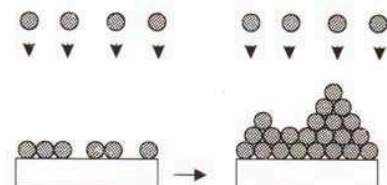
a) layer-by-layer growth



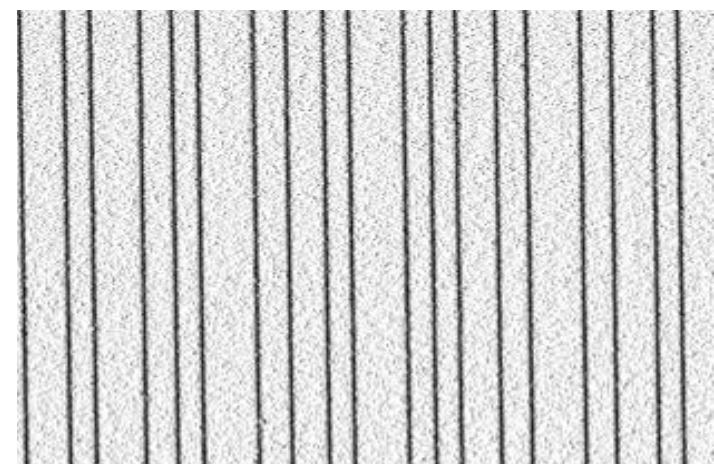
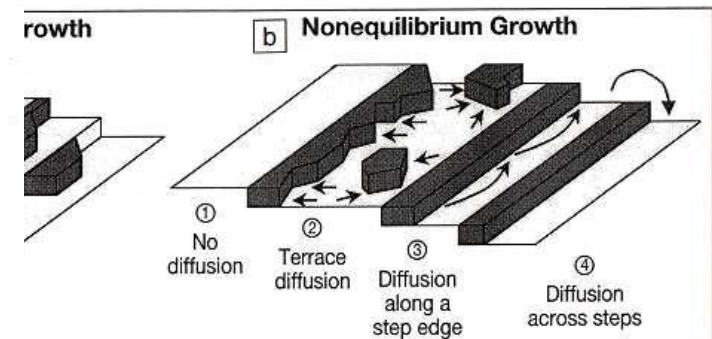
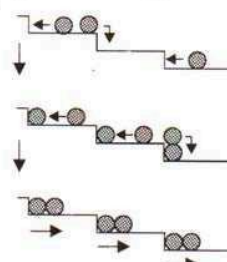
b) island growth



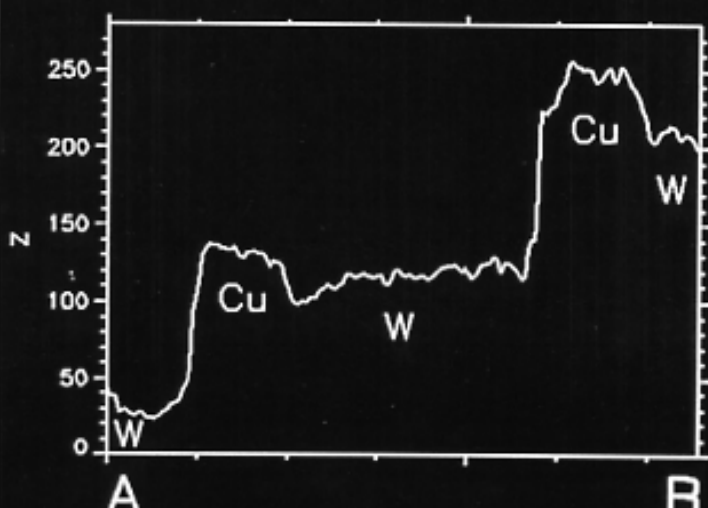
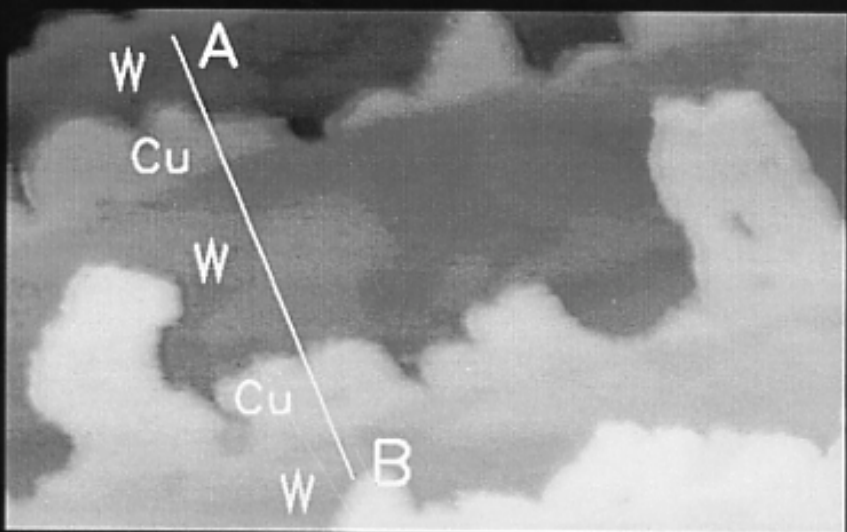
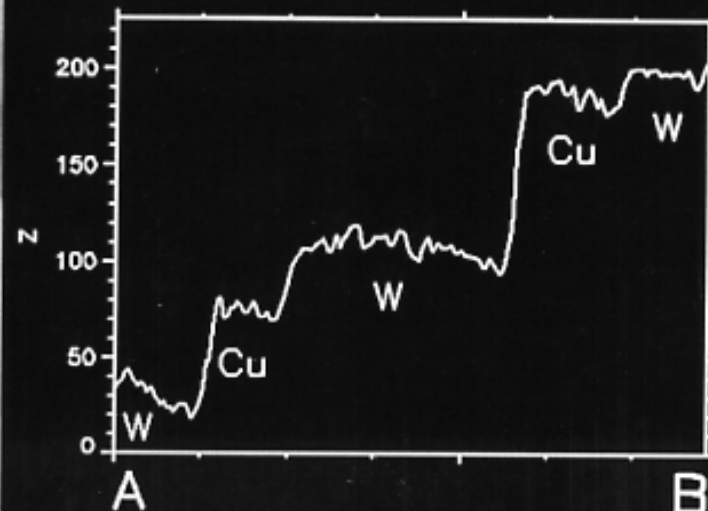
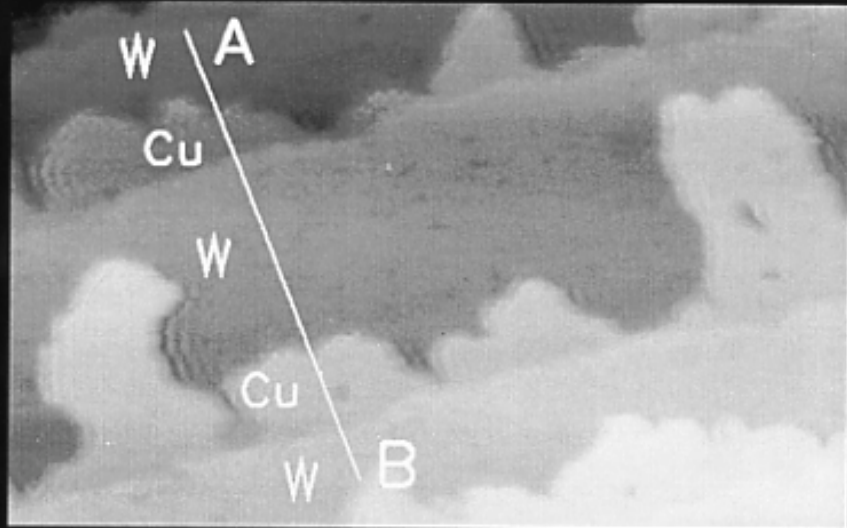
c) layer plus island growth



d) step flow growth ($l_T \ll l_D$)



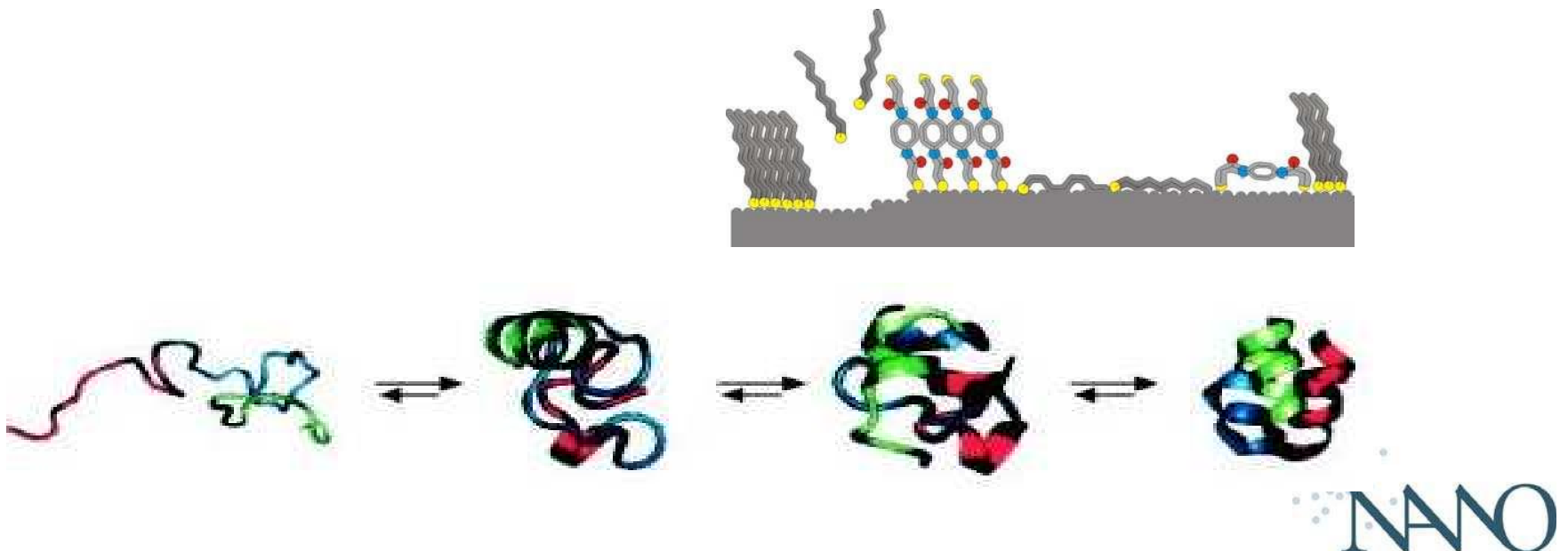
Th. Jung et al.
n 24, 20--24 (1999).



Molecular Self-Assembly

“Molecular self-assembly is the spontaneous association of molecules under equilibrium conditions into stable, structurally well-defined aggregates joined by non-covalent bonds. Molecular self-assembly is ubiquitous in biological systems and underlies the formation of a wide variety of complex biological structures.”

G.M. Whitesides, J.P. Mathias and C.T. Seto, *Science* **254**, 1312 (1991)



Praeparation von ‘atomar sauberen’ Oberflaechen ‘C’

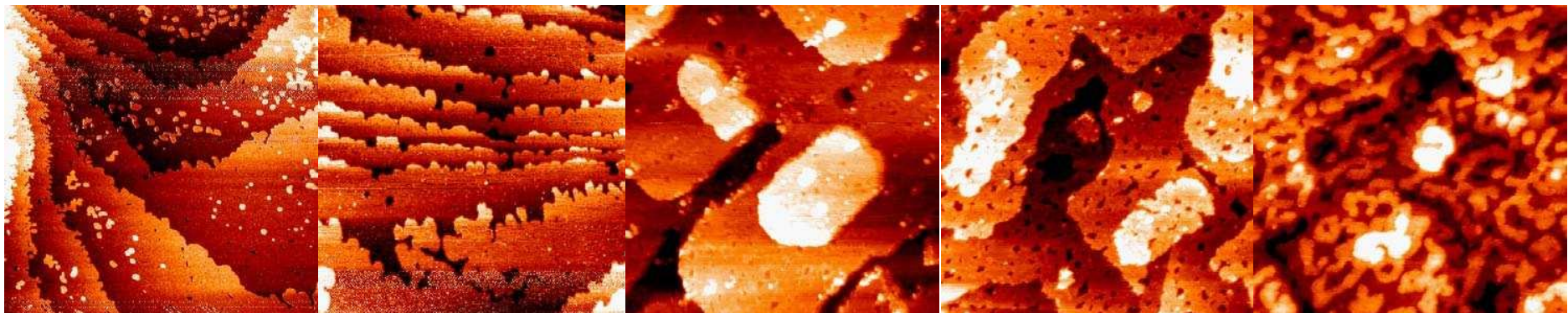
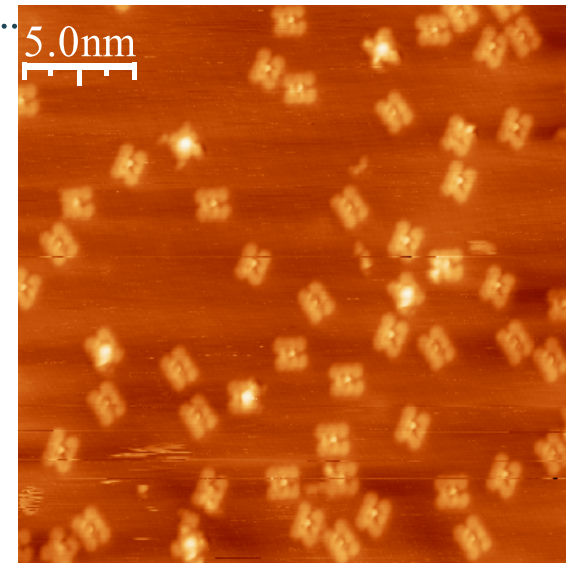
- Heizen (Si-1200, Pt-1200, W-2400, Mo-2400, Cu-500, ...) bei kontaminationen auch mit reaktiven Gasen
- Zyklisches ‘annealing’ (dt. Ausheilen) und ‘sputtern’ (dt. Ionenbeschuss).
→ Reinigen einer Oberflaechennahen Schicht
- Aufdampfen im Vakuum



Results: STM

Sample Characterization
with RT STM

MnTPPCI on Co(0001)



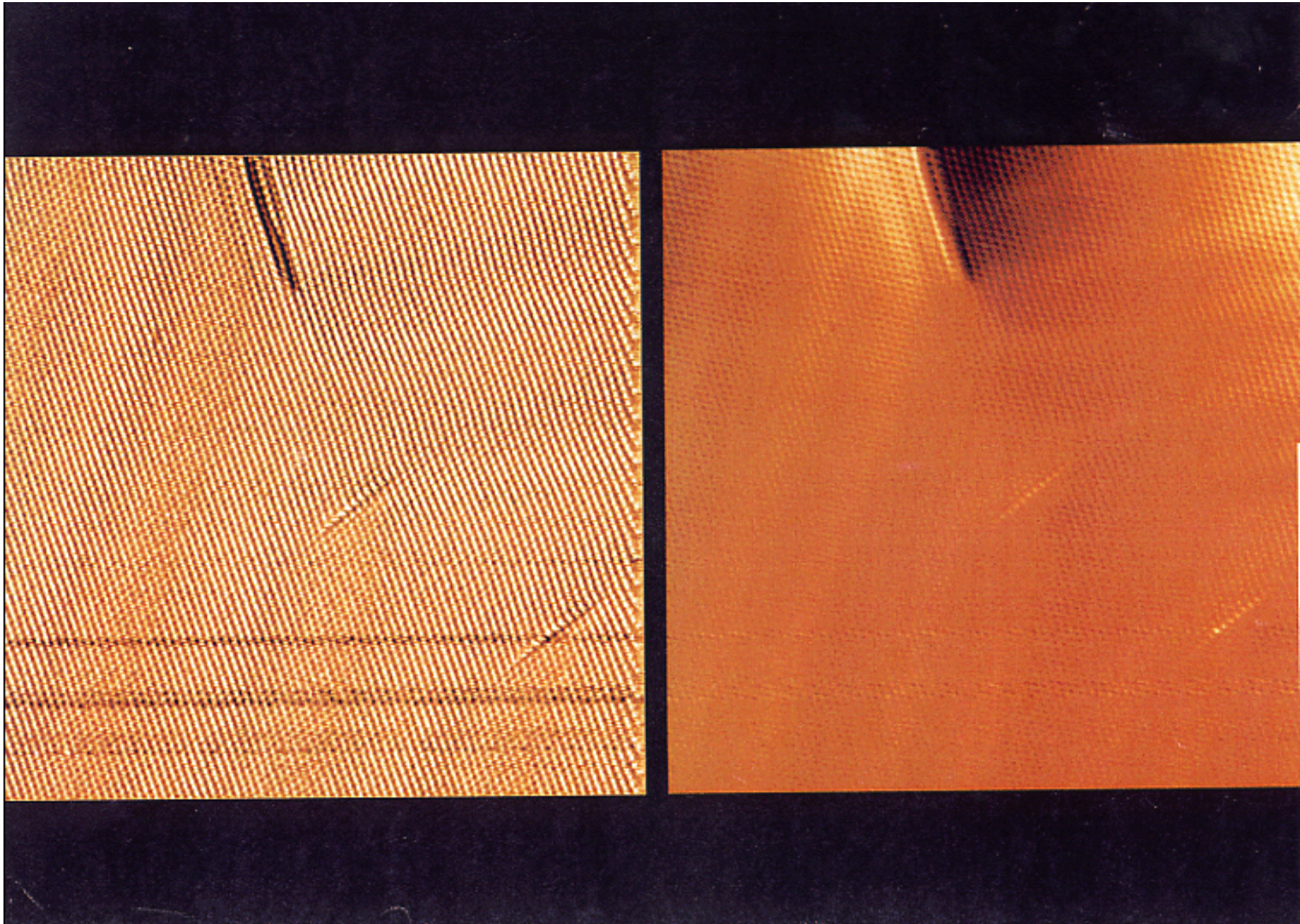
Co/Cu(100)



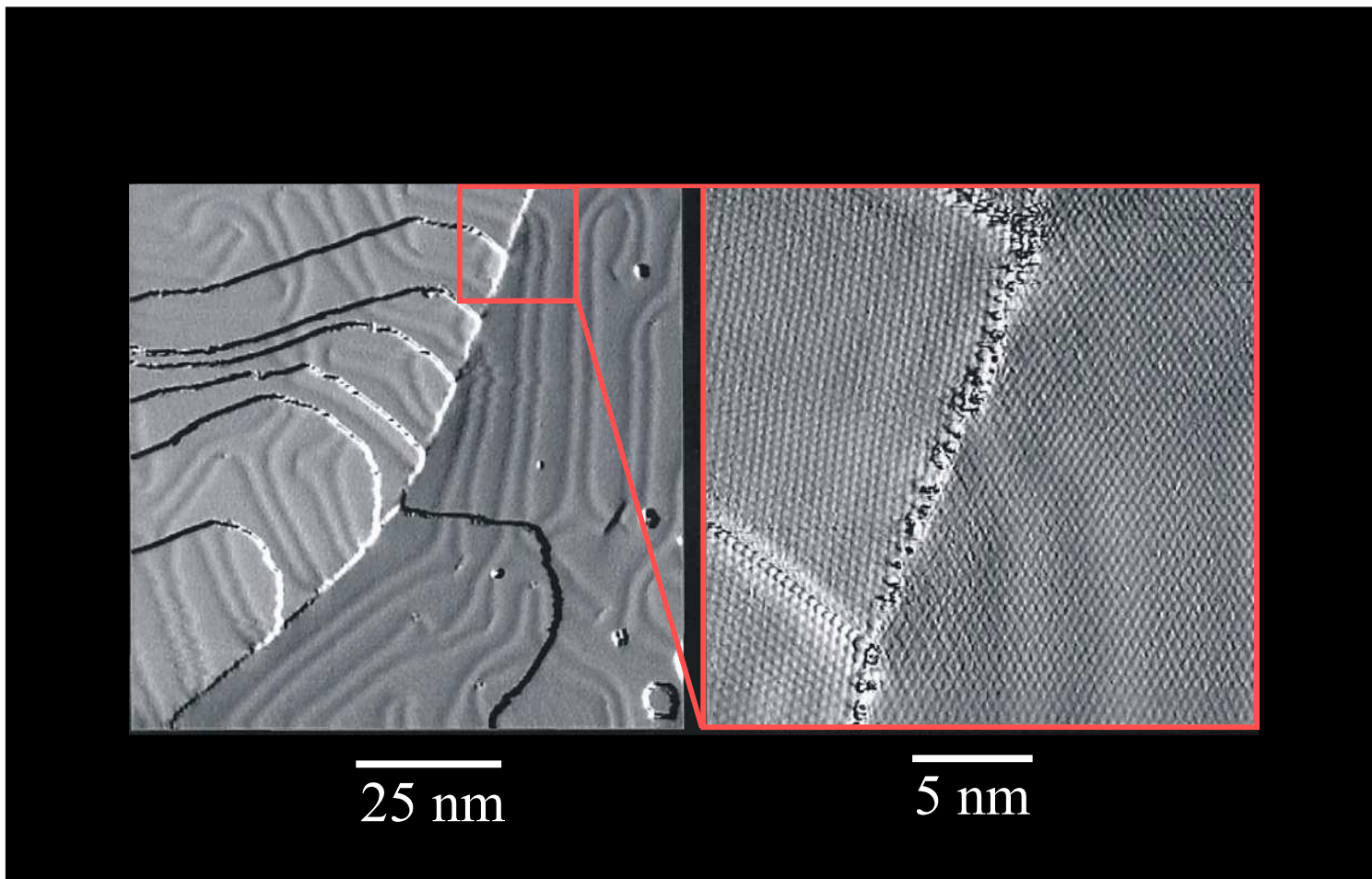
Praeparation von ‘atomar sauberen’ Oberflaechen ‘C’

- Heizen (Si-1200, Pt-1200, W-2400, Mo-2400, Cu-500, ...) bei kontaminationen auch mit reaktiven Gasen
- Zyklisches ‘annealing’ (dt. Ausheilen) und ‘sputtern’ (dt. Ionenbeschuss).
→ Reinigen einer Oberflaechennahen Schicht
- Aufdampfen im Vakuum

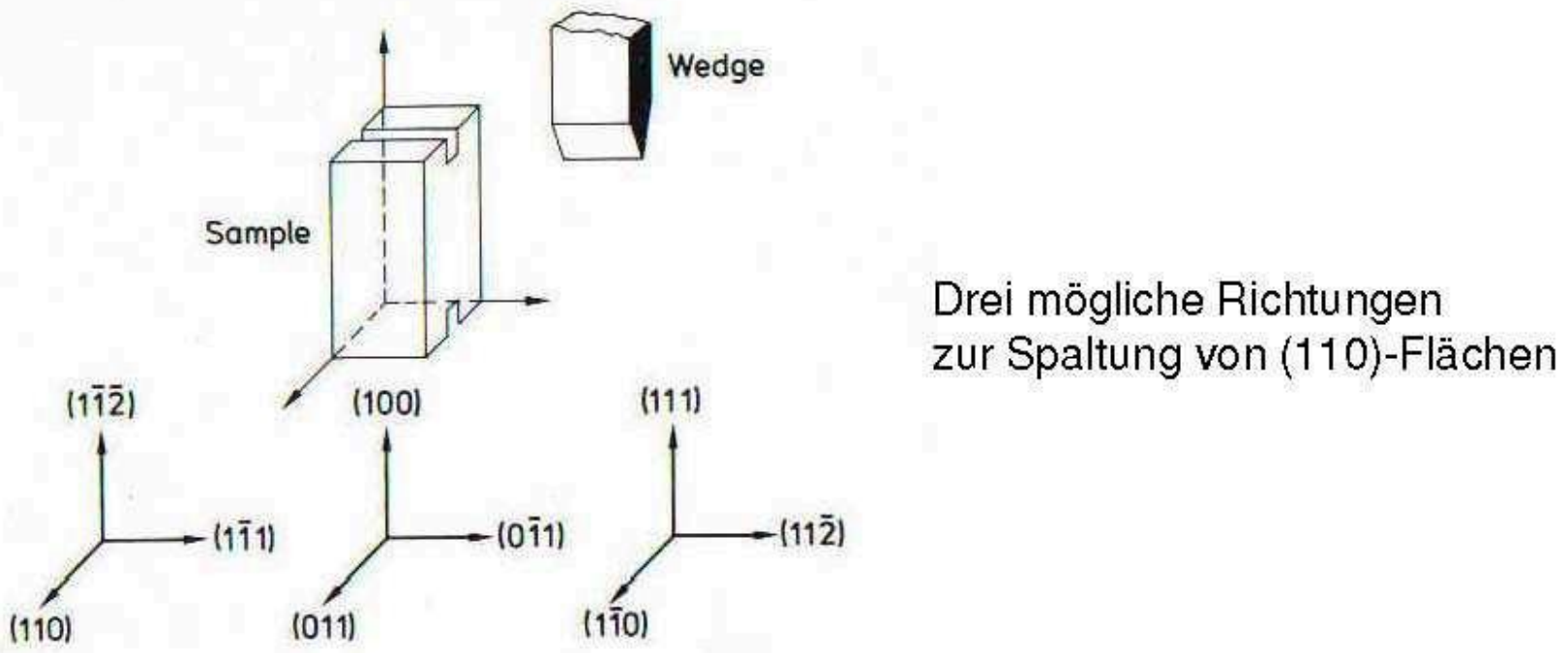




Au(111): atomically clean terraces and surface reconstruction

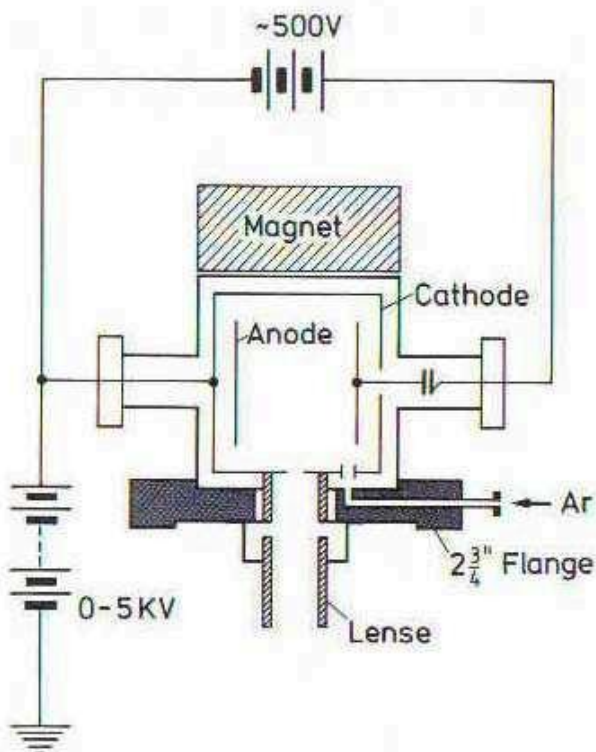


Spalten von Kristallen



Spalten von Kristallen:
Ionenkristalle wie NaCl und KBr (100)
Si und Ge: (111)
III-V-Halbleiter: (110)

Sputtern



Ionen-Sputter-Kanone:

Zwischen Anode und Kathode ($U \approx 500V$) entsteht Plasma, d.h. Ionen werden durch Elektronenstöße erzeugt.

Das Magnetfeld vergrößert den Weg der Elektronen.

Die Linsen fokussieren die Elektronen

Typischerweise wird ein Druck von 10^{-6} bis 10^{-3} mbar verwendet.

Die Beschleunigungsspannungen sind im Bereich von 0-5kV. Mit Ionenströmen im μA -Bereich.

Für Metalle werden Zyklen von Sputtern und Annealen verwendet.

Bei Isolatoren und Halbleitern wird selten gesputtert (eher Spalten oder Aufdampfen)

Struktur der Oberflaeche

- Nicht einfach nur die Spaltung einer Kristallstruktur
- Beschreibung der Oberflaechenstruktur
- Experimente zur Strukturbestimmung

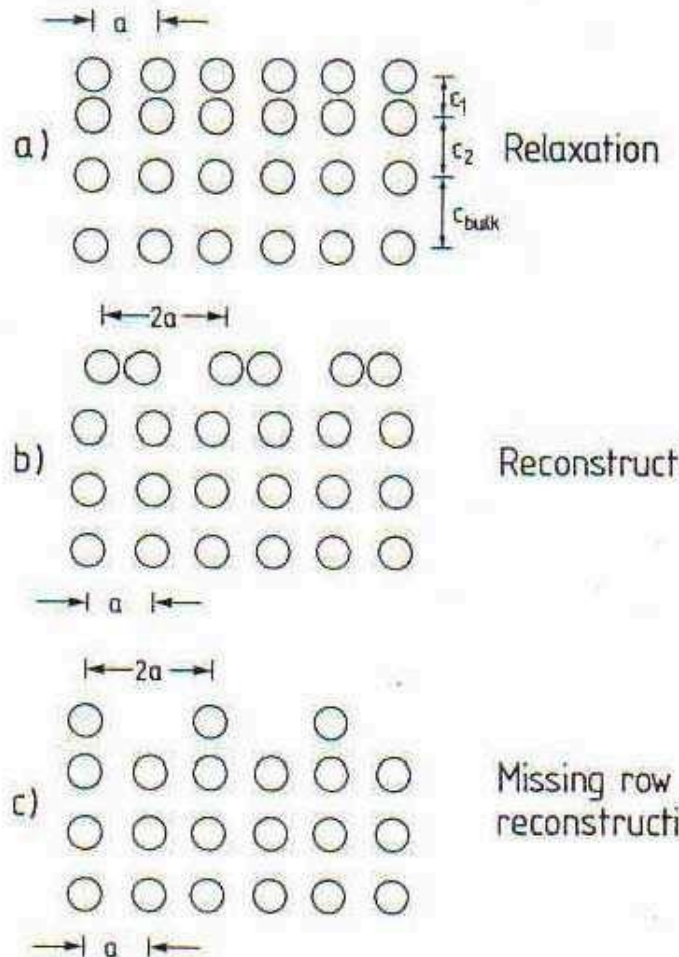
Oberfläche als Störung

Die Oberfläche stellt eine starke Störung dar

- ⇒ fehlende Bindungen (dangling bonds)
- ⇒ unkomensierte Kräfte ⇒ Verschiebungen
- ⇒ geänderte elektronische Zustände
- ⇒ Geänderte mechanische, chemische und elektronische Eigenschaften

Deshalb kommt es gegenüber dem „truncated bulk“ zu
Veränderungen: Relaxationen und Rekonstruktionen

Rekonstruktion, Relaxation



Relaxation: Veränderung der Gitterkonstante senkrecht zur Oberfläche

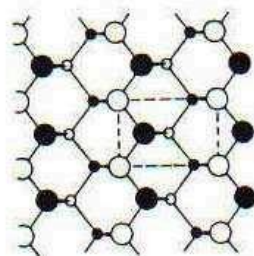
Rekonstruktion: Parallel zur Oberfläche werden Atome neu Angeordnet (grössere Einheitszelle)
z.B. 2x1 oder 7x7

GaAs(110)1x1

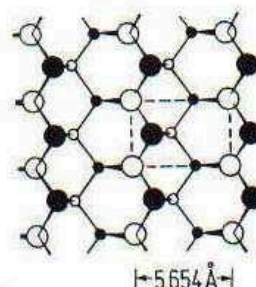
Ga As (110) – (1x1)

- As
- Ga

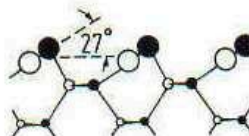
NON-RECONSTRUCTED



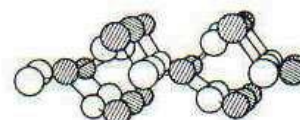
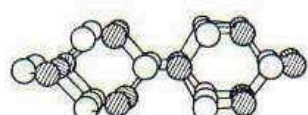
RELAXED



(a) TOP VIEW



(b) SIDE VIEW



(c) SPHERE MODEL
(SIDE VIEW)

...the GaAs(110) surface ideal non-reconstr

Beispiele von Relaxationen

Relaxation nach aussen:

- Edelgaskristalle
- dicke Anionen auf nichtpolaren Spaltflächen von ionischen Kristallen
LiF, MgO, NaCl, KBr(001)

Relaxation nach innen:

- hochsymmetrische Metallflächen (100),(111) oder (110)

Rekonstruktion: z.B. Si(111)2x1

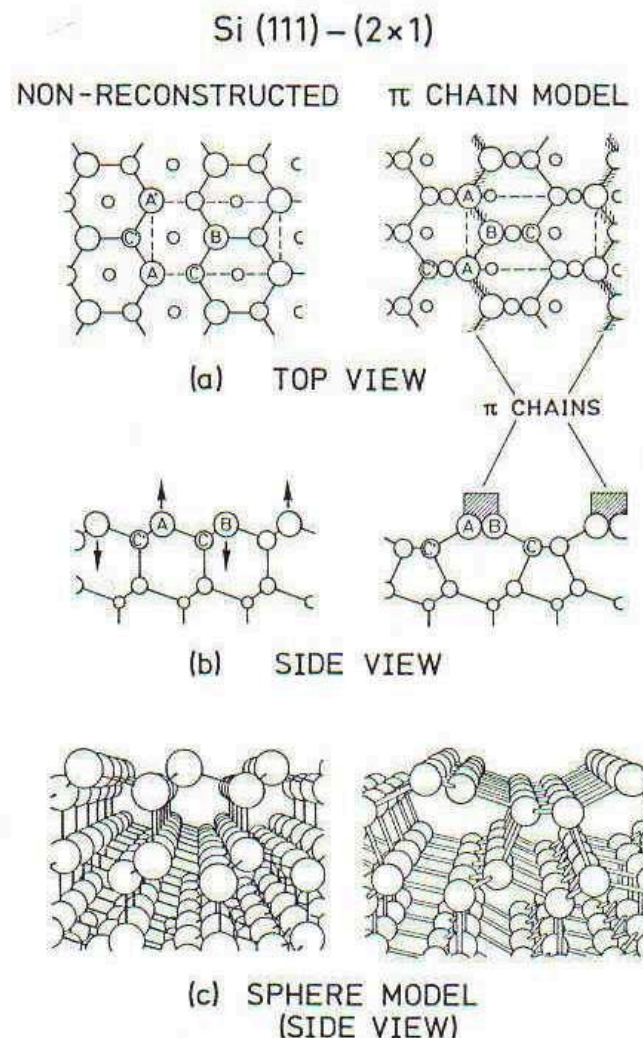
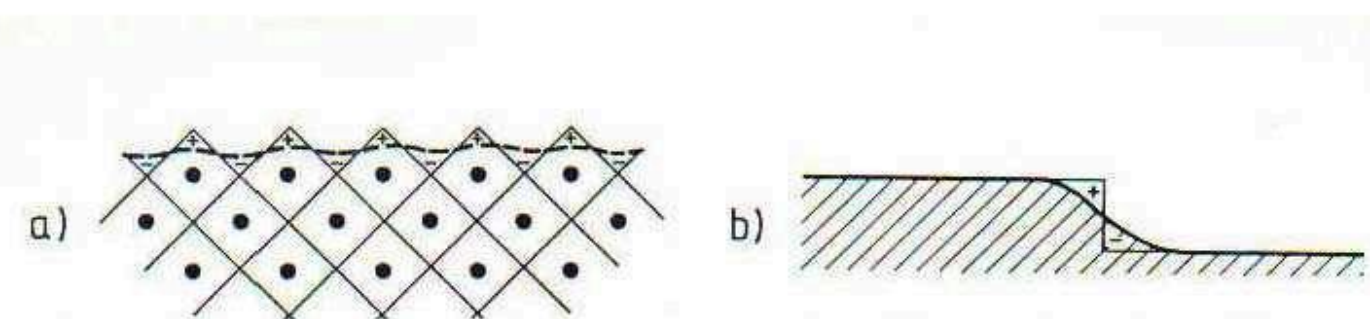


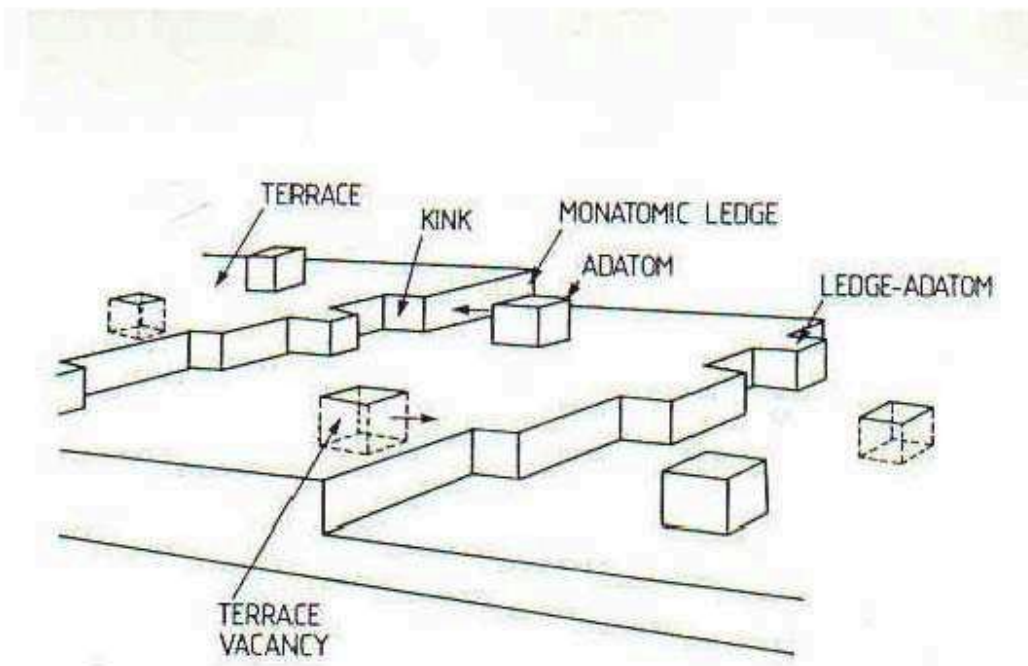
Fig. 2.6a → Atomic positions at the Si(111) surface: ideal non-recon-

Bildung eines elektronischen Oberflächendipoles



Durch die Ausschmierung (smoothening) der elektronischen Ladung gegenüber dem Ionenrumpf entsteht ein Dipol an der Oberfläche (a) und an Stufen (b). Dies stellt eine Potentialbarriere dar, welche zu verschiedenen neuen Phänomenen führt (work function, surface band structure)

Defekte auf Oberflächen



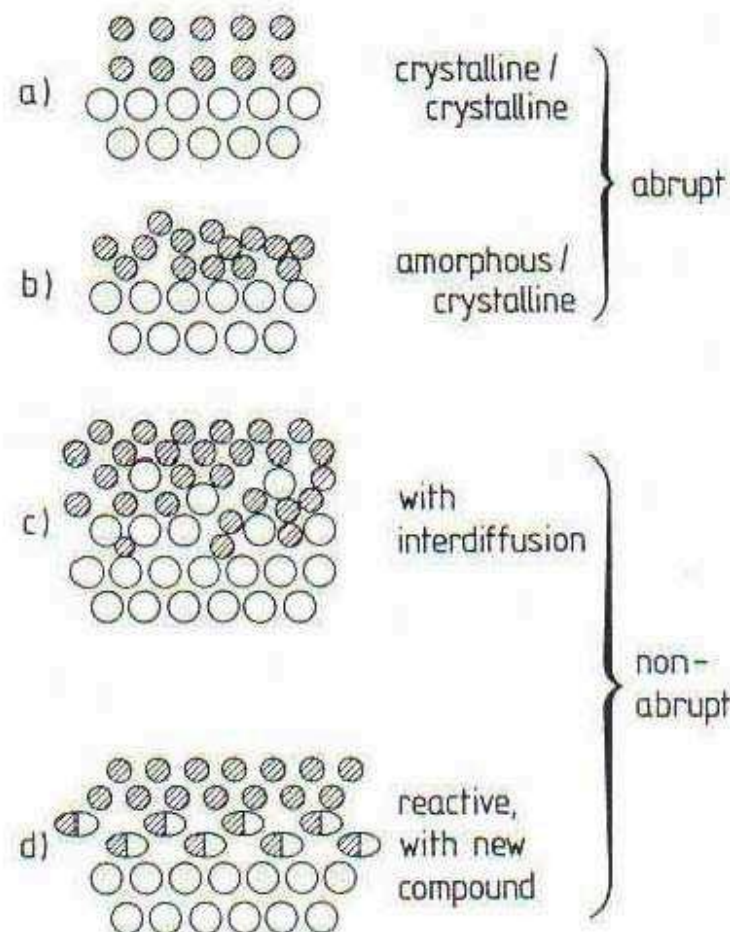
Ähnlich wie im Bulk ist der thermodynamisch stabilste Zustand (Einfluss der Entropie) nicht ein idealer Einkristall, sondern beinhaltet eine Verteilung von Defekten.

Grenzflächen (interfaces)

Bis jetzt: solid-vacuum
Weitere Grenzflächen:
solid-solid, liquid-solid

Es gibt abrupte oder
Kontinuierliche Grenzflächen

Bei reaktiven Grenzflächen:
Entstehen neue Verbindungen



2-dimensionale Gitter, Superstructures, Reziproker Raum

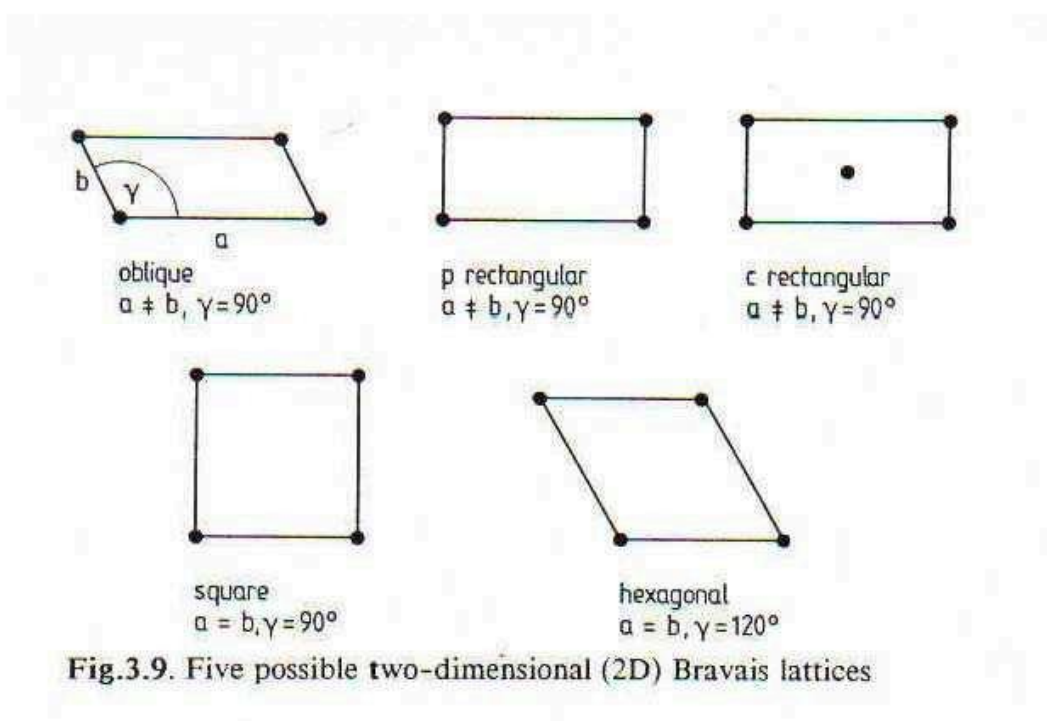


Fig.3.9. Five possible two-dimensional (2D) Bravais lattices

Im 2-dimensionalen Fall gibt es 5 Bravais Gitter.
Mit Berücksichtigung der 10 Punktsymmetriegruppen
ergeben sich 17 2d-Raumgruppen.

Übergitter (super structure)

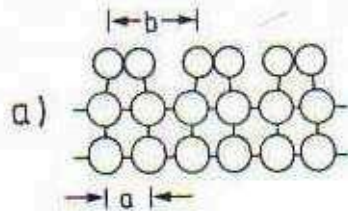
Das Substratgitter wird durch die Einheitsvektoren \mathbf{a}_1 und \mathbf{a}_2 beschrieben.
Das Oberflächengitter (Super structure) ergibt sich dann:

$$\mathbf{b}_1 = m_{11}\mathbf{a}_1 + m_{12}\mathbf{a}_2$$

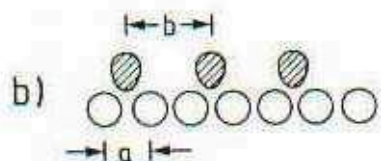
$$\mathbf{b}_2 = m_{21}\mathbf{a}_1 + m_{22}\mathbf{a}_2$$

$$\begin{pmatrix} \mathbf{b}_1 \\ \mathbf{b}_2 \end{pmatrix} = \mathbf{M} \begin{pmatrix} \mathbf{a}_1 \\ \mathbf{a}_2 \end{pmatrix} \quad \mathbf{M} = \begin{pmatrix} m_{11} & m_{12} \\ m_{21} & m_{22} \end{pmatrix}$$

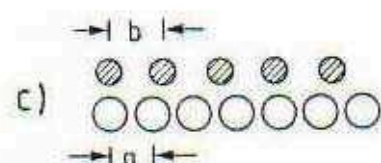
Mögliche Überstrukturen (superstructures)



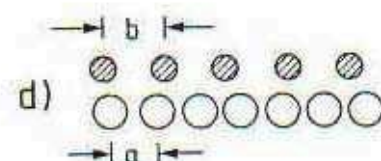
Reconstruction
superlattice
 $b/a=2$



Adsorbate superstructures:
simple superlattice
 $b/a=2$



coincidence lattice
 $b/a=4/3$

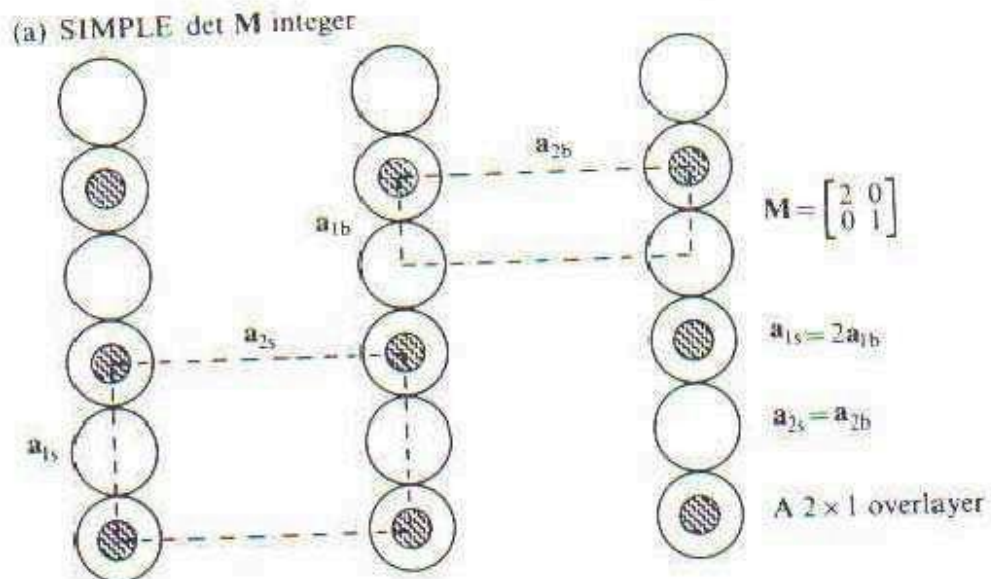


incoherent lattice
 $b/a=1.49953\dots$

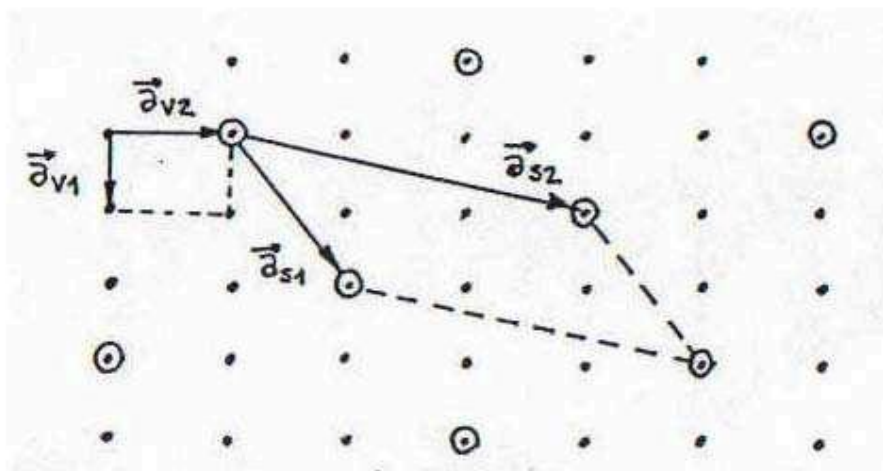
$$\det \mathbf{M} = \left| \frac{\mathbf{b}_1 \times \mathbf{b}_2}{\mathbf{a}_1 \times \mathbf{a}_2} \right|$$

$\det \mathbf{M}$: integer \Rightarrow einfache Überstruktur
rational \Rightarrow koinzidente Überstruktur
irrational \Rightarrow inkohärente Überstruktur

Einfache Überstruktur



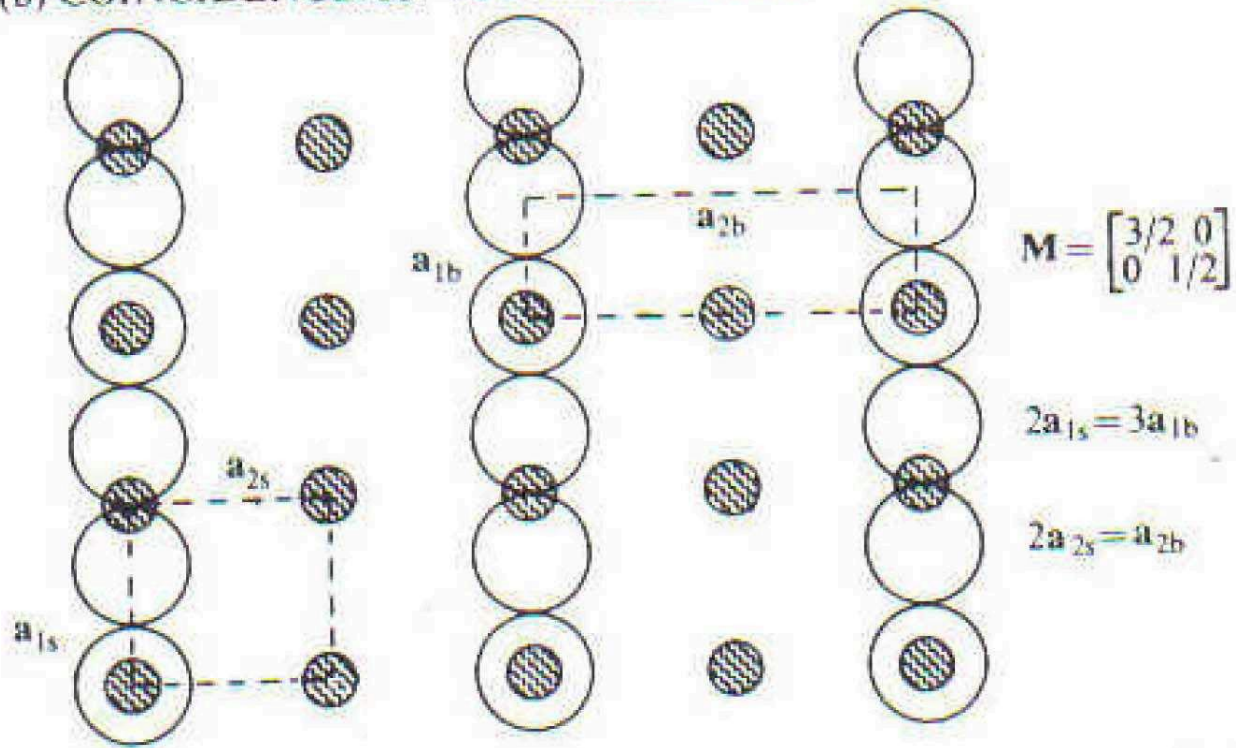
Einfache Überstruktur



$$\mathbf{M} = \begin{pmatrix} 2 & 1 \\ 1 & 3 \end{pmatrix}$$

Koinzidente Überstruktur

(b) COINCIDENCE, det M a rational fraction



Wood Notation:

Einfache Beschreibung:

Betrachte Oberfläche $X\{hkl\}$ z.B. Si(111) oder NaCl(001)
 b_1 parallel a_1 und b_2 parallel zu a_2

Notation:

$X\{hkl\}(pxq)$ oder $X\{hkl\}c(pxq)$
c: centered unit cell

Wenn die Vektoren nicht parallel sind:

$X\{hkl\}(pxq)-R^\circ$

Beispiele: Si{111}(2x1) oder einfach Si(111)2x1

Si(111)7x7

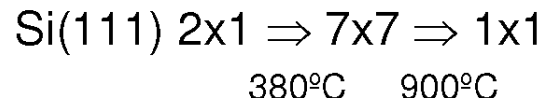
Au(111)22x $\sqrt{3}$

Ni(110)c(2x2)-O (mit Adsorbat)

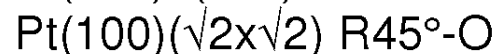
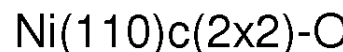
Beispiele von Rekonstruktionen

Symmetrie-Erniedrigung parallel zur Oberfläche:

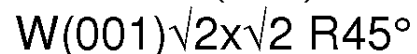
-Halbleiteroberflächen:



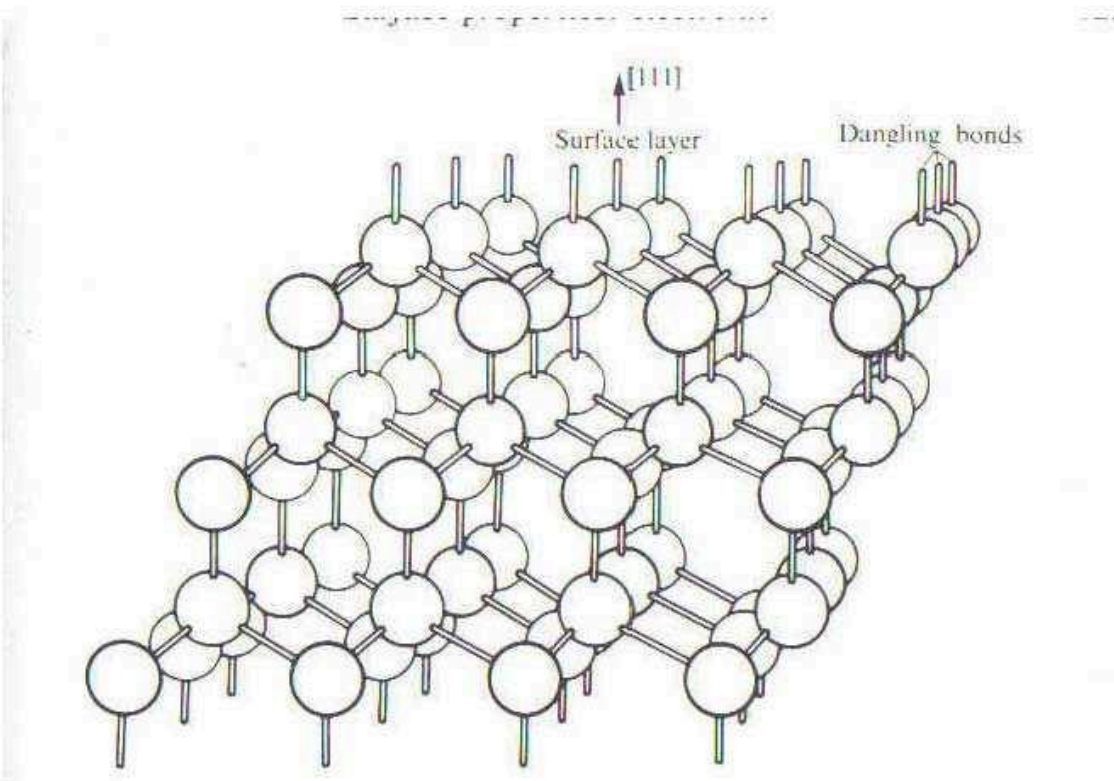
-Adsorbatstrukturen: laterale Wechselwirkungen führen zur Abstossung



-Rekonstruktionen von Metallen

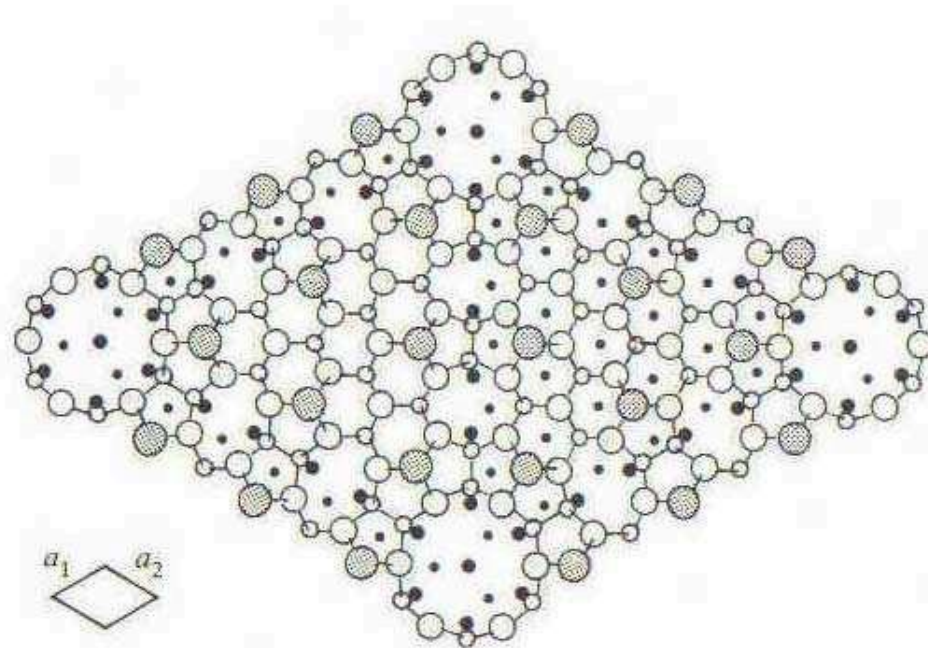
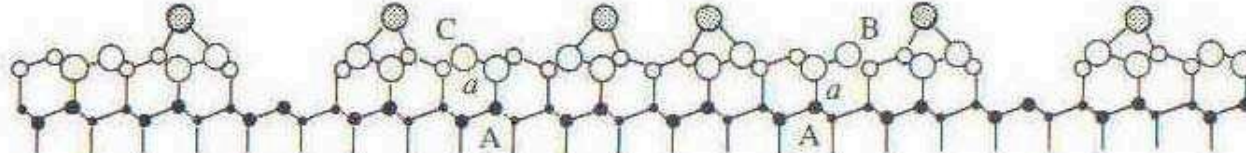


(111)-Fläche von diamantartigen Kristallen



Hohe Dichte an „dangling bonds“ (unabgesättigte Bindungen)
führt zu starker Rekonstruktion

Si(111)7x7 Rekonstruktion



3 Schichten: „adatom“, „restatom“ und „stacking fault“
DAS-model (dimer adatom stacking fault model) von Takayanagi 1985

Reziprokes Gitter

Für Diffraktionsexperimente eignet sich die Beschreibung mit dem reziproken Gitter am besten:

$$\mathbf{a}_1^* = 2\pi \frac{\mathbf{a}_2 \times \hat{n}}{|\mathbf{a}_1 \times \mathbf{a}_2|} \quad \mathbf{a}_2^* = 2\pi \frac{\mathbf{a}_1 \times \hat{n}}{|\mathbf{a}_1 \times \mathbf{a}_2|}$$

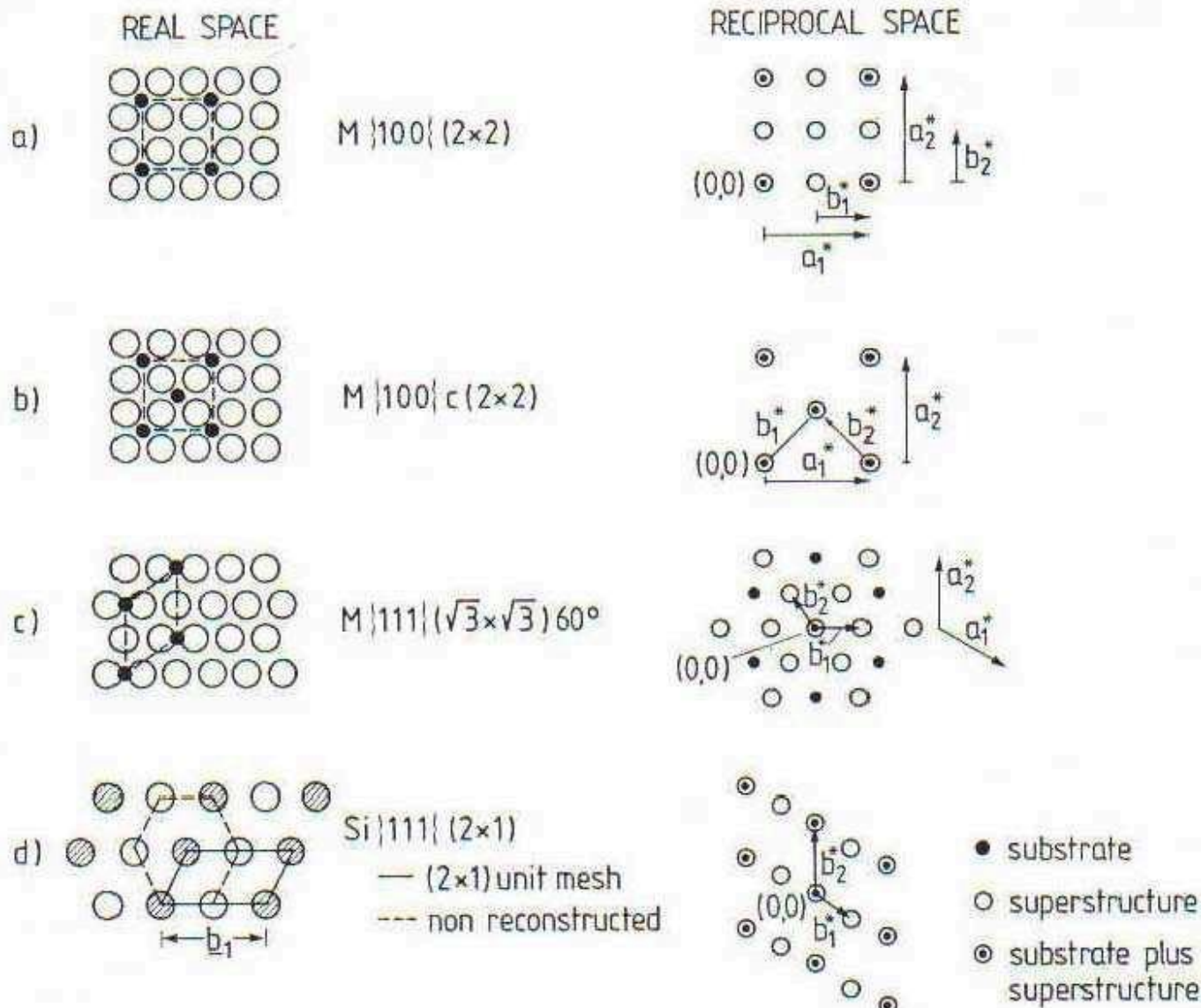
Der Übergang vom Substratgitter zum Oberflächengitter:

$$\begin{pmatrix} \mathbf{b}_1^* \\ \mathbf{b}_2^* \end{pmatrix} = \mathbf{M}^* \begin{pmatrix} \mathbf{a}_1^* \\ \mathbf{a}_2^* \end{pmatrix}$$

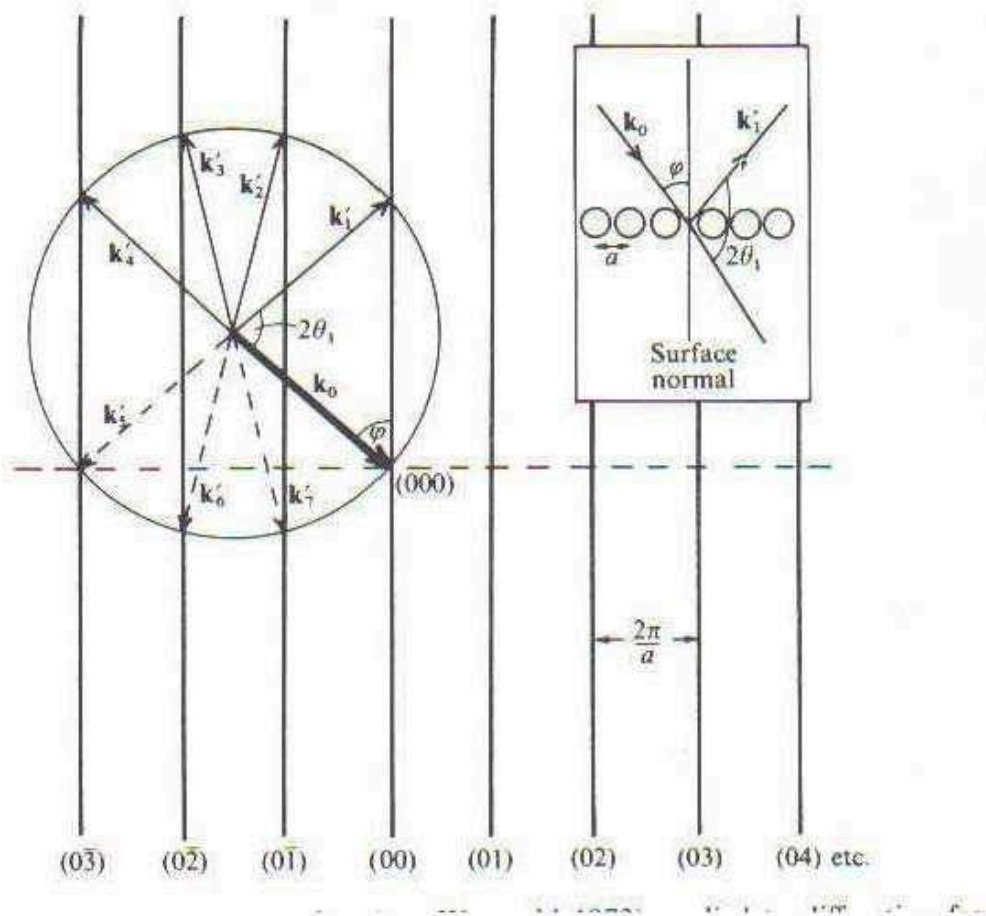
$\mathbf{M}^* = (\mathbf{M}^{-1})^T$ ist transponierte, inverse Matrix mit

$$m_{ii}^* = \frac{m_{ii}^*}{\det \mathbf{M}^*} \quad m_{ij}^* = \frac{-m_{ji}^*}{\det \mathbf{M}^*}$$

Überstrukturen und reziproker Raum



Ewald-Konstruktion



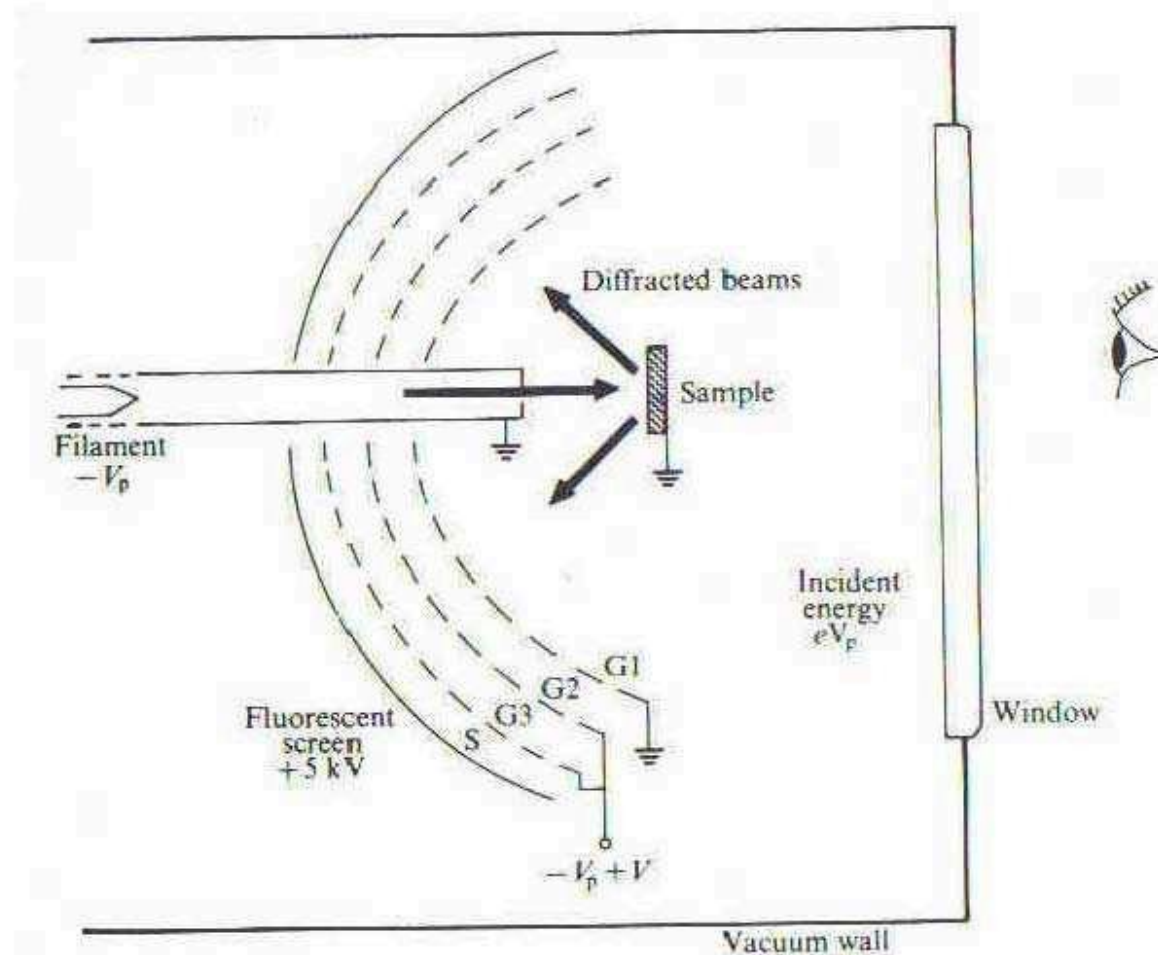
Laue-Bedingung:

$$\underline{K} = \underline{k}_0 - \underline{k}'_i$$

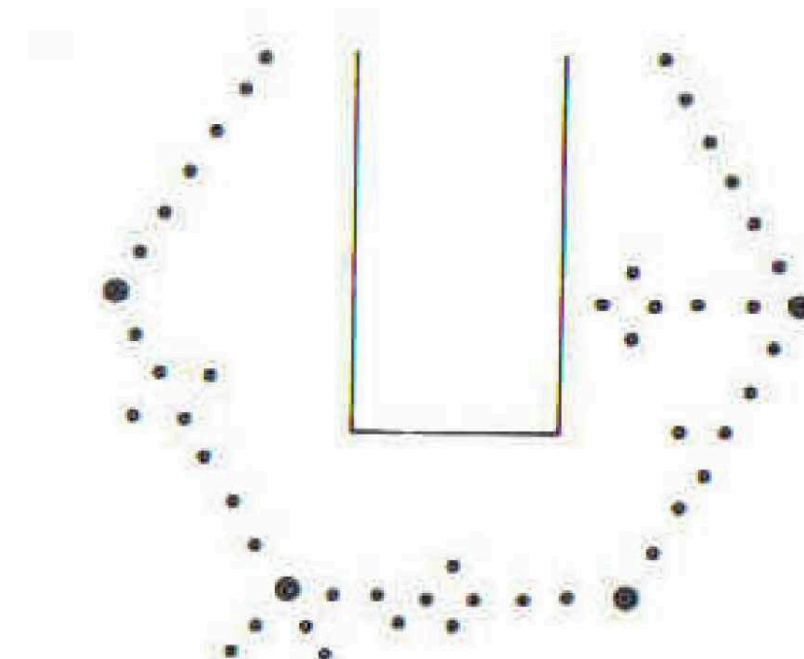
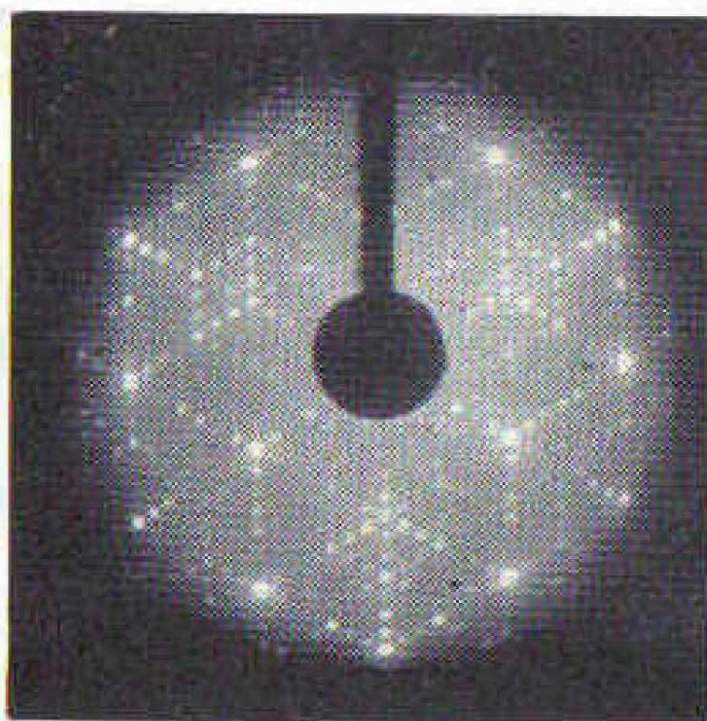
Wenn \underline{K} ein reziproker Gittervektor ist, erfolgt Konstruktive Interferenz
⇒ Bragg Peak

Im 2d-Fall ist K_{\perp} beliebig d.h. die Laue-Bedingung Muss nur für die Parallel-Komponenten erfüllt sein.

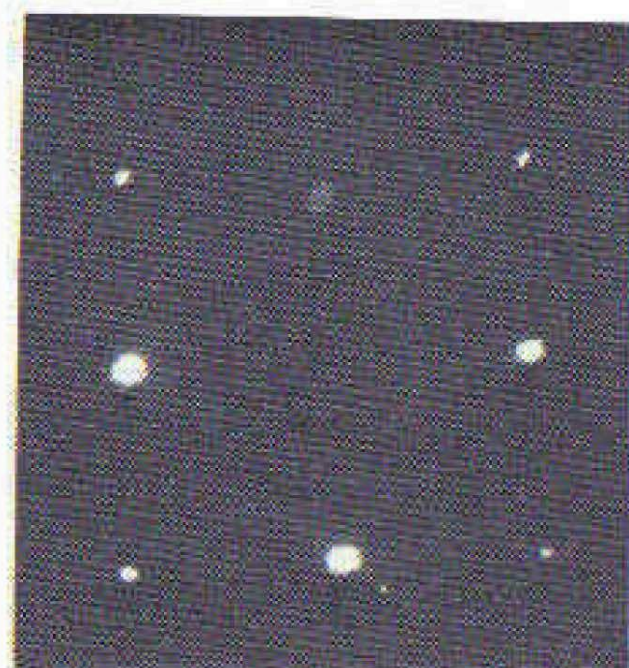
Low Energy Electron Diffraction (LEED)



LEED von Si(111)7x7

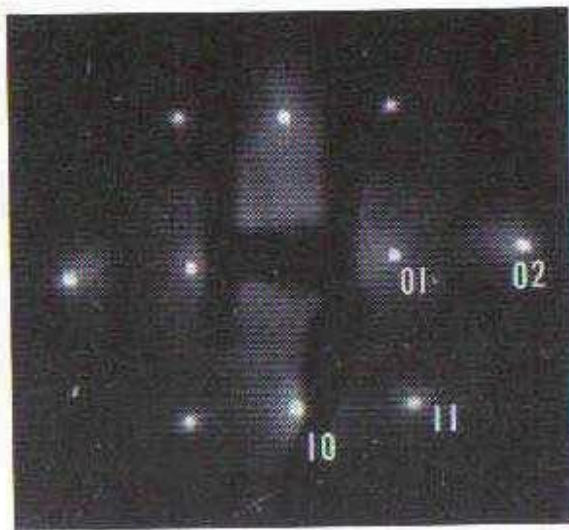


LEED von Cu(100)

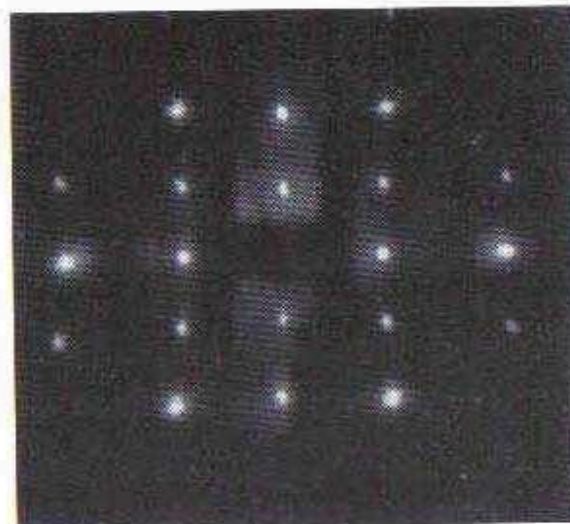


150V

LEED Cu(100)2x1-O



(a)

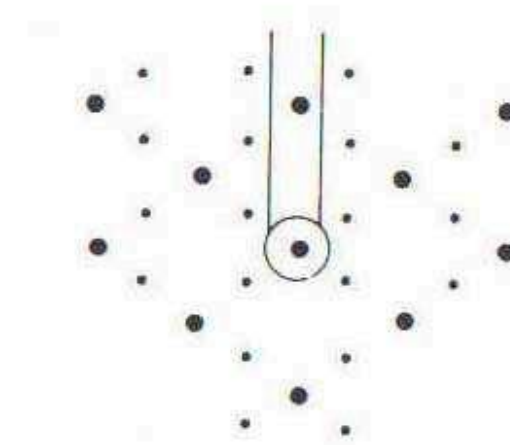
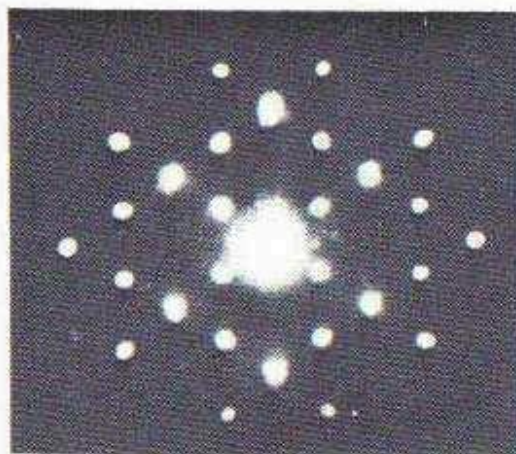


(b)

LEED von Cu(110)

- a) Saubere Oberfläche
- b) 2x1 bei niedriger Bedeckung mit Sauerstoff

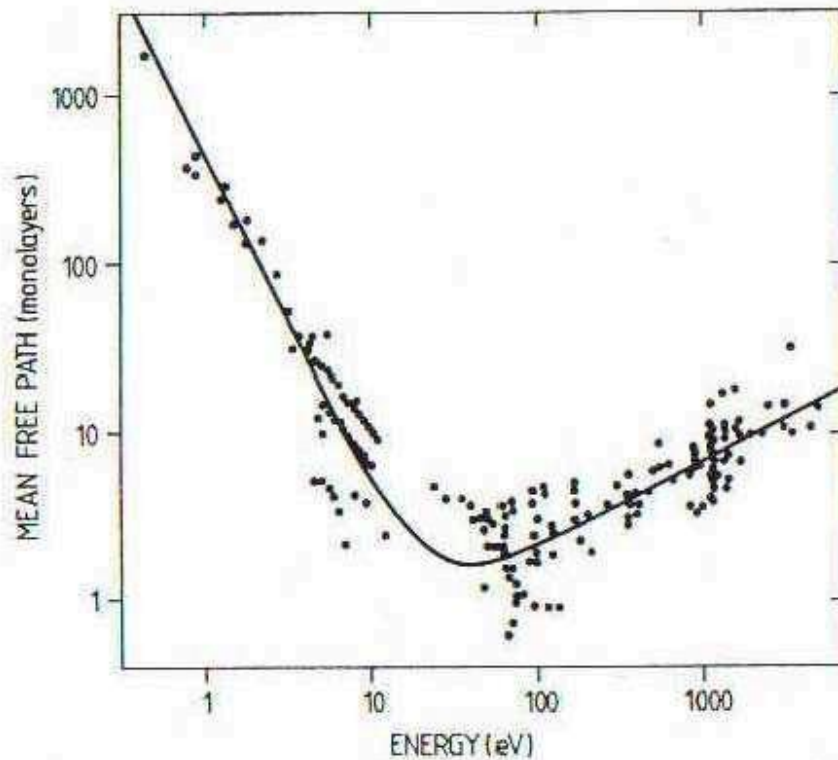
LEED von W(110)2x1-O



53V

Sauerstoff auf W(110)

Mittlere freie Weglänge



Mittlere freie Weglänge von Elektronen in verschiedenen Festkörpern als Funktion der Energie. Mechanismus: Anregung von Plasmonen deren Energie durch die Elektronendichte bestimmt ist.

‘take-home’ Message

- Oberflaechen und Grenzflaechenwissenschaften verbinden Physik und Chemie und werden fuer ‘kleine’ oder niedrig Dimensionale Objekte sehr wichtig (→ Nano!, Technik, Bio / Med, Kolloide, ...)
- Vakuumtechnik (vergangene Woche) ‘total im Dreck’ oder ‘total sauber’
- Praeparationstechniken und das ‘warum’